

Universidad Autónoma de Nuevo León

Facultad de Ciencias Físico Matemático

Búsqueda y Estudio Fotométrico de Sistemas Binarios Eclipsantes

Tesis de Maestría en Astrofísica Planetaria y Tecnologías Afines

Presentada por:

**Ramón Caballero
Villegas**

Asesor:

**Dr. Andrés Alberto
Avilés Alvarado**

Año Académico 2022-2023

Resumen

Índice general

1. Introducción	2
1.1. Estrellas	2
1.1.1. Formación	2
1.1.2. Secuencia Principal	3
1.1.2.1. Equilibrio Hidrostático	3
1.1.2.2. Equilibrio Termodinámico Local	4
1.1.3. Atmósfera Estelar	5
1.1.3.1. Atmósfera de Kurucz	5
1.1.4. Evolución	7
1.2. Sistemas Binarios	8
1.2.1. Geometría del Sistema	8
1.2.2. Clasificaciones Observacionales	8
1.2.3. Binarias Eclipsantes	9
1.2.4. Binarias en Contacto	9
2. Muestra	10
2.1. Catálogos	10
2.1.1. Gaia	10
2.1.1.1. Fotometría	10
2.1.1.2. Data Release 2	10
2.1.2. Sloan Digital Sky Survey	11
2.1.2.1. Data Release 9	11
2.2. Szkody, et al. (2002): Cataclysmic Variables from the Sloan Digital Sky Survey	11
2.3. Criterios de Selección	13
2.3.1. Búsqueda en Gaia	13
2.3.2. Selección de Objetos Observables	13
2.3.3. Búsqueda en SIMBAD	14
2.4. ATO J339.9469+45.1464 - EclBin_Candidate	14
2.4.1. Datos de Gaia	15
2.4.2. Datos de ZTF	15
3. Observaciones	16
3.1. Observatorio Astronómico Universitario - Iturbide	16
3.2. Fotometría	17
3.2.1. Estrellas de Comparación	18
3.2.2. Procesamiento de Imágenes	18
3.2.3. Fotometría Diferencial	19

4. Metodología	22
4.1. Análisis del Periodo Orbital	22
4.2. Normalización de Flujos	23
4.2.1. Preservación de Color	24
4.3. Modelo Computacional	24
4.3.1. Estimaciones Iniciales	24
4.3.1.1. Elección del Modelo Inicial	25
4.3.2. Optimización de Parámetros	26
A. Gaia ADQL Queries	28
A.1. DR2	28
A.2. DR3	29
Bibliografía	31

Capítulo 1

Introducción

1.1 Estrellas

Las **estrellas** son de los objetos más fundamentales e importantes en el estudio de los astros. LeBlanc (2010, Capítulo 1) define una estrella como “un objeto celeste en el cual existe, o alguna vez existió (en el caso de una estrella muerta) fusión de hidrógeno sostenido en su núcleo.” El núcleo de cada estrella activa alcanza temperaturas en el orden de decenas de millones Kelvin, lo cual permite forjar nuevos elementos más pesados mediante el proceso de fusión nuclear. El mecanismo principal para la generación de energía es la fusión de hidrógeno a helio: $4\ ^1\text{H} \rightarrow\ ^4\text{He} + E$. Dentro de todas las estrellas existe un balance de fuerzas que mantiene la forma esférica de la estrella; esto se le conoce como el *equilibrio hidrostático*, en el cual la presión interna de la estrella tiene una contra-fuerza equivalente del peso de su mismo gas. Este balance es modelado a escalas menores a las de las propiedades macroscópicas de la estrella Prialnik (2010, Capítulo 2), en la cual la estrella está en un estado de *equilibrio termodinámico local*.

Una estrella es caracterizada por sus propiedades físicas, como su masa, composición química, radio, y temperatura. A continuación se plantea una base para describir la estructura de una estrella al igual que su evolución, empezando con la formación de una *protoestrella*, la cual a lo largo del tiempo se transforma en una estrella.

1.1.1 Formación

El **medio interestelar** (ISM por sus siglas en inglés) es la región de espacio que existe entre el Sol y el resto de las estrellas dentro de nuestra Galaxia. Está compuesto de todo el polvo, gas, y partículas libres como los rayos cósmicos que atraviesan el espacio. La distribución de este material no es uniforme a cortas escalas de distancias astronómicas, por lo cual se observan acumulaciones de gas y polvo que se les conoce como **nubes moleculares**. Estas nebulosas se encuentran a temperaturas extremadamente frías, hasta los 10-20 K en su estado de equilibrio. Sin embargo, la nube puede llegar a ser perturbada de este estado, lo cual causa una distribución de masa y un campo gravitacional no uniforme, dando forma a cúmulos densos de material.

Dado suficiente tiempo una nube molecular va colapsando bajo su propio peso, donde la presión en la nube causa que el material se acumule en un solo punto en el espacio. Mientras más aumente la presión el gas se calienta; este proceso sigue hasta llegar a un equilibrio entre la presión interna del gas y la fuerza compresiva de gravedad, en donde la nube deja de contraerse. Dependiendo de la temperatura a la que alcanza el núcleo determina si se convierte en una estrella capaz de mantener una reacción continua de fusión nuclear. La masa mínima para que una nube molecular colapse a una estrella es de $0.08\ M_{\odot}$ LeBlanc (2010, Capítulo 2). De no cumplir con esta condición, el cúmulo de gas y polvo no logrará mantener la cadena

de reacciones termonucleares en su núcleo, resultando en una *enana café*, un objeto inerte resultado del proceso fallido de formación estelar.

Una vez que el material de la nube se estabilice—una vez que el objeto empieza a producir energía de orden de magnitud estelar—nace una **protoestrella**. Estos objetos extensos (aproximadamente $500 R_{\odot}$ para una protoestrella de $1 M_{\odot}$ [Kutner \(2017, Capítulo 15\)](#)) se mantienen a una baja temperatura durante esta etapa de su vida, alrededor de 2500 K en su superficie. Sin embargo, debido a la alta densidad, la nube no es completamente transparente, por lo cual solo la superficie es capaz de liberar energía por medio de radiación infrarroja; la energía producida en su interior primero debe de viajar a la superficie por medio de convección. Conforme va evolucionando la nube se sigue comprimiendo hasta llegar a un punto en el cual puede mantener reacciones termonucleares continuas en su núcleo, llegando al punto de ser una estrella en **secuencia principal**. La **Figura 1.1** muestra la evolución de una protoestrella a una estrella secuencia principal con respecto a su temperatura y luminosidad.

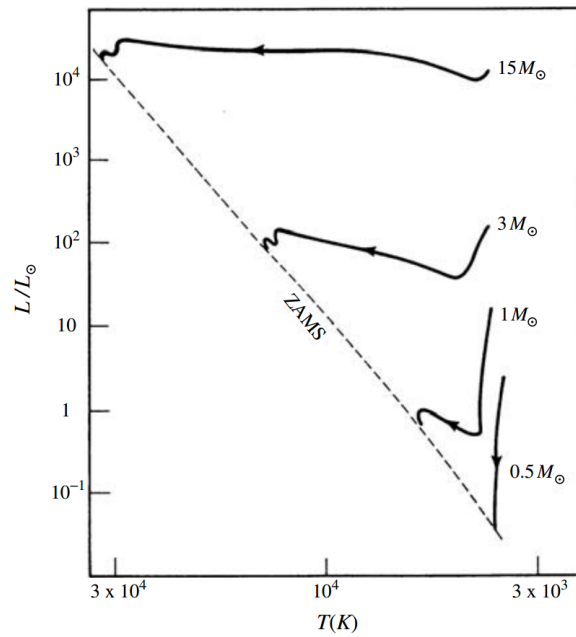


Figura 1.1: Diagrama de la evolución de una protoestrella hasta llegar a *ZAMS* (*Zero Age Main Sequence*), la edad a la que se convierte en una estrella de secuencia principal. Se muestran varios caminos evolutivos de una protoestrella en función de su masa, el cual es el parámetro de mayor importancia en su evolución y estado final. Figura obtenida de [Kutner \(2017, Capítulo 15\)](#).

1.1.2 Secuencia Principal

Una vez que una estrella llegue su etapa de secuencia principal el sistema se vuelve estable a largas escalas temporales. En este estado la estrella deja de comprimirse, ya que el colapso gravitacional es contrarrestado por la presión del gas caliente en su interior y la presión ejercida por la radiación producida en su núcleo. A continuación se definen dos conceptos importantes en la física estelar: el **equilibrio hidrostático** y el **equilibrio termodinámico local**.

1.1.2.1 Equilibrio Hidrostático

Podemos simplificar el modelo de una estrella al introducir la simetría esférica, en el cual las propiedades del gas que forma la estrella dependen únicamente de la distancia del núcleo. Para

esto definimos la presión $P(r)$, densidad $\rho(r)$, temperatura $T(r)$, y aceleración gravitacional $g(r)$ como funciones con respecto a la distancia r del centro. En base a estos fundamentos se puede deducir la estratificación de una estrella, formando varias capas de material con propiedades uniformes a lo largo de cada estrato. Dado que cada elemento está sujeto a un equilibrio de fuerzas descrita por la ecuación $P(r)dA - [P(r) + dP]dA - [\rho(r)dAdr]g(r) = 0$, la cual se ve en la **Figura 1.2**. Al simplificar esta ecuación e introduciendo un término para la presión radiativa—debido a la transferencia de momento de los fotones generados en el núcleo estelar al material circundante—se obtiene la **Ecuación 1.1**.

$$\frac{dP(r)}{dr} = -\rho(r)[g(r) - g_{rad}(r)] \quad (1.1)$$

Ecuación 1.1: Ecuación del equilibrio hidrostático para una estrella, tomando en cuenta los efectos de la presión radiativa saliente $g_{rad}(r)$. LeBlanc (2010, Capítulo 2)

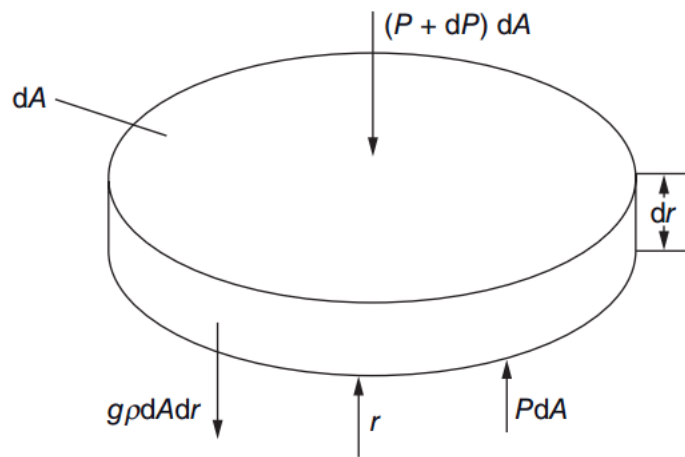


Figura 1.2: Diagrama de fuerzas actuando sobre cada elemento superficial dA de material de una estrella. Los efectos debido a elementos adyacentes son nulos, debido a que la presión en cada lado es constante, resultando en un gradiente de presión radial. Figura obtenida de LeBlanc (2010, Capítulo 2).

1.1.2.2 Equilibrio Termodinámico Local

Una estrella como resultado de su mecanismo de transporte de energía no está en un estado de equilibrio térmico. El núcleo, en donde se produce la gran mayoría de energía en una estrella, está a ordenes de magnitud más caliente que la fotosfera. Este transporte de energía ocurre principalmente por medio de *radiación* y *convección*; la conducción no juega un papel significativo. Para que una estrella se mantenga estable durante los miles de millones de años de su vida debe de estar en un tipo de equilibrio, donde cada estrato su volumen mantenga una composición estable a largas escalas de tiempo, lo cual implica que el flujo de energía que ingresa a cada capa es igual a la cantidad de energía que libera a la siguiente capa. Esto lleva a cabo otra simplificación en el modelo estelar: una estrella la podemos considerar como un sistema en **equilibrio termodinámico local**.

Para declarar que un sistema está en equilibrio termodinámico local debemos considerar el **camino libre medio** de una partícula en el interior estelar. Considerando la distancia recorrida por un fotón antes de ser absorbido o esparcido por otra partícula obtenemos esta

medición, la cual dicta la escala de espacio del transporte de energía comparado a la escala espacial de la estrella. En el caso de que el camino libre medio sea significativamente menor que las dimensiones espaciales de la estrella su volumen se puede dividir en celdas discretas de tamaño despreciable, en las cuales cada una de las celdas está en equilibrio termodinámico dentro de sí mismas [Priyalnik \(2010, Capítulo 2\)](#). Por lo tanto, la estructura de la estrella se puede determinar siempre y cuando se sepa la masa de la estrella, y la densidad, temperatura, y composición química de cada punto en su interior.

1.1.3 Atmósfera Estelar

La gran mayoría de la radiación que recibimos de las estrellas—tanto de nuestro Sol como de sistemas estelares ajenos—proviene de su **fotosfera**, la capa exterior sometida a la influencia gravitacional del astro. Debido al transporte de energía en los estratos interiores la fotosfera se encuentra a una temperatura a ordenes de magnitud menor que la temperatura en el núcleo; la intensidad monocromática de la estrella depende de esta temperatura, por lo cual la **distribución de energía espectral** (**SED** por sus siglas en inglés) varía de la misma forma.

Un **cuerpo negro** es aquel objeto que se encuentra en un estado de equilibrio termodinámico con su ambiente, absorbiendo energía (en el caso de una estrella esta sería por medio de radiación) a la misma tasa que la emite [Kutner \(2017, Capítulo 2\)](#). El espectro de un cuerpo negro es descrito por la función de Planck (**Ecuación 1.2**), de la cual obtenemos la intensidad para cada longitud de onda dada la temperatura del cuerpo negro. La distribución espectral de energía se puede ver en la **Figura 1.3**. Esta aproximación, a pesar de omitir una parte apreciable de la composición de una estrella, es suficientemente adecuada para ciertos estudios donde no es necesario implementar un modelo complejo.

$$B_{\lambda}(T) = \frac{2hc^2/\lambda^5}{e^{hc/\lambda kT} - 1} \quad (1.2)$$

Ecuación 1.2: Función de Planck describiendo la intensidad emitida por un cuerpo negro con temperatura T para una longitud de onda λ . h es la constante de Planck, k la constante de Boltzmann, y c la velocidad de la luz en un vacío.

Sin embargo, en la práctica la composición química de una estrella (conocido como su **metalicidad**) llega a tener un efecto notable en su distribución espectral de energía medida. Esto se debe a la absorción, dispersión, y emisión de fotones por parte de las partículas en la atmósfera estelar, incluyendo electrones e iones libres, átomos, y moléculas esparcidas dentro de este volumen. Cada partícula interacciona con fotones de manera distinta, incluyendo la tasa de interacciones con respecto a la frecuencia de la radiación incidente. Existen varios códigos diseñados para modelar este comportamiento, llamados **model atmospheres** en inglés. Estos códigos reciben de entrada los parámetros conocidos de la estrella que se quiere modelar, su temperatura efectiva, aceleración gravitacional superficial, y metalicidad (en unidades solares), dando como resultado el espectro de la estrella.

1.1.3.1 Atmósfera de Kurucz

Entre los códigos de modelos de atmósferas estelares más utilizados está el de **ATLAS** escrito por Robert L. Kurucz. A continuación se especifican las suposiciones empleadas en el código de **ATLAS** descritas en [Prša \(2011, Capítulo 4.2\)](#); para una discusión completa del programa es necesario hacer referencia a [Kurucz \(1970\)](#).

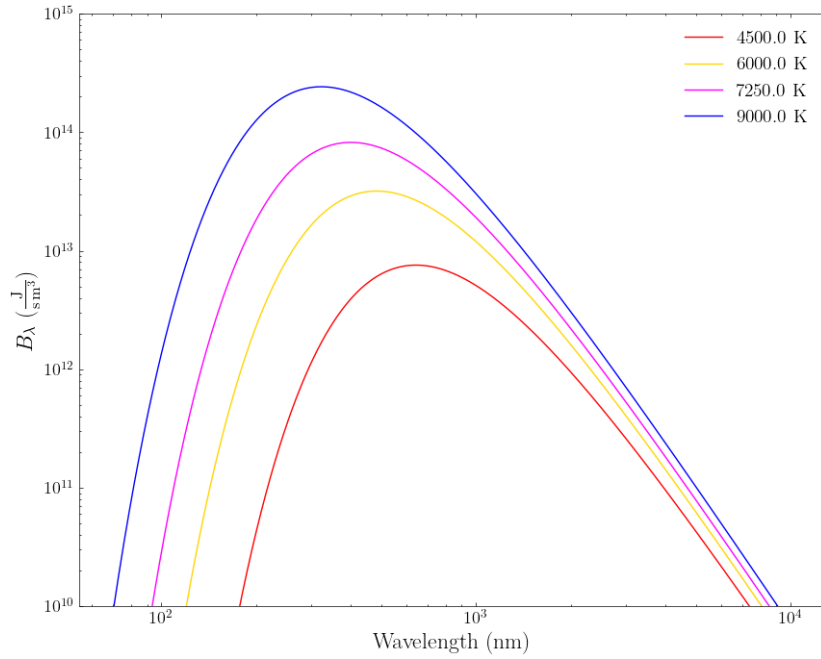


Figura 1.3: Intensidad de un cuerpo negro con temperatura efectiva especificada.

Este modelo parte de las condiciones del *equilibrio hidrostático* y el *equilibrio termodinámico local* para una estrella, lo cual simplifica el problema a un trato unidimensional; las propiedades físicas de la atmósfera depende unicamente de su distancia al núcleo. El grosor de cada capa es ordenes de magnitud menor que la superficie que abarca la fotosfera estelar, lo cual permite modelar el estrato usando varios segmentos discretos que se aproximan a *planos paralelos*. La simetría esférica produce *capas homogéneas*, cuyas propiedades físicas como su composición química es uniforme en cada capa, solo variando con su profundidad. Esto también permite ignorar estructuras finas en la superficie de la estrella como la granulación y las manchas solares (en ciertos ajustes de modelos estas manchas aún son requeridas para un ajuste adecuado a los datos observacionales dados).

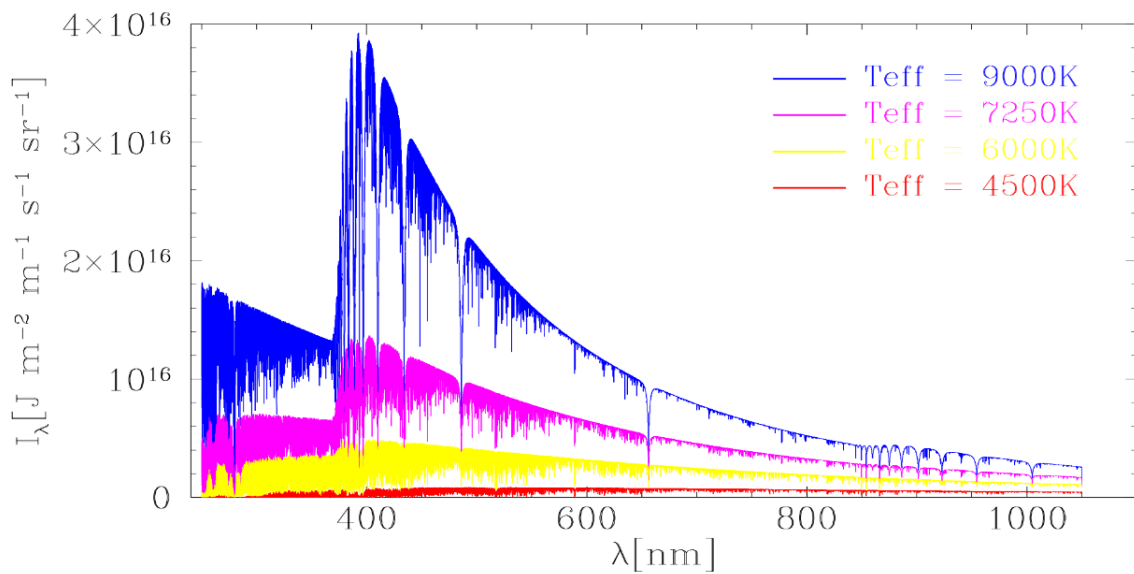


Figura 1.4: Espectros sintéticos de las tablas de Kurucz para estrellas de varias temperaturas. El resto de los parámetros físicos utilizados se mantuvieron fijos para los cuatro modelos: $\log g/g_0 = 4.0$ y $[M/H] = 0.0$. Figura obtenida de [Prša \(2011, Capítulo 4.2\)](#).

La **Figura 1.4** muestra el espectro sintético generado por el código ATLAS dado diferentes parámetros físicos. Estas aproximaciones son ideales para estudiar estrellas aisladas, las cuales son mayormente esféricas en forma. Sin embargo, este modelo tiene limitaciones significantes para estrellas deformes, como los sistemas binarios cercanos donde las fuerzas de marea causan una partida notable de su forma esférica. A pesar de no ser un modelo perfecto, en la mayoría de los casos es más adecuado utilizar un código como ATLAS que modelar una estrella como un simple cuerpo negro.

1.1.4 Evolución

En el transcurso del tiempo cada estrella será sujeta a ciertos cambios en su estructura. Esto se debe a que podemos considerar a una estrella como un objeto aislado en el espacio, lo cual significa que no tendrá algún ingreso de material significativo para reemplazar el combustible “quemado” en las reacciones termonucleares. A lo largo del tiempo la composición física y química de la estrella deberán cambiar para mantener el equilibrio termodinámico.

El combustible primario de una estrella viene siendo el hidrógeno atómico, el cual se fusiona con otros átomos (protones individuales) libres, resultando en la producción de grandes cantidades de energía en forma de radiación y moléculas de helio como producto. El helio no es inmediatamente útil para la estrella como combustible, ya que requiere temperaturas más altas de las que se encuentran durante esta fase evolutiva. Todas las estrellas conocidas pasan por esta etapa de evolución estelar; mientras que una estrella dependa principalmente del hidrógeno para brillar se dice que está en su etapa de *secuencia principal*.

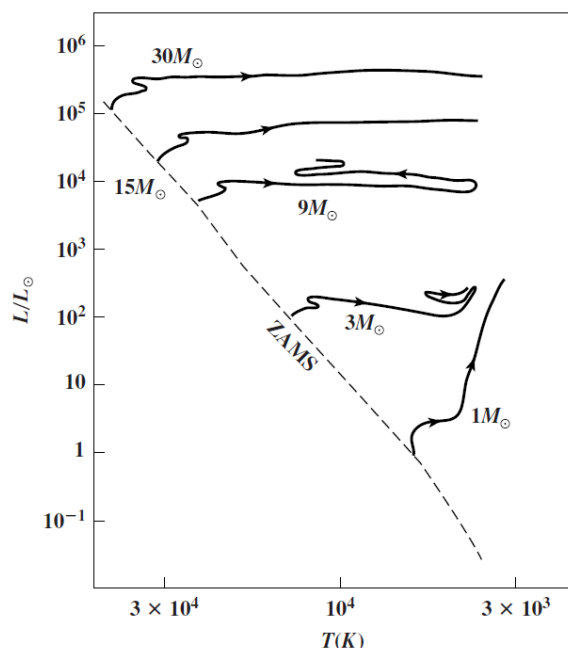


Figura 1.5: Evolución de estrellas de la secuencia principal basado en su masa inicial en el diagrama HR. La línea punteada representa la posición de la estrella en el primer momento que se integra a la secuencia principal. Al consumir el hidrógeno en su núcleo por las reacciones nucleares que ocurren en esta misma región se comienza a desatar el equilibrio delicado que mantiene la forma de la estrella. Esta deformación provoca una oscilación en su tamaño, causado por las fluctuaciones del balance entre la presión radiativa generada por las reacciones nucleares en el núcleo contra la presión gravitacional. Diagrama obtenido de [Kutner \(2017, Capítulo 2\)](#)

1.2 Sistemas Binarios

La gran mayoría de sistemas estelares dentro de nuestra Galaxia no son aquellos solitarios como nuestro propio sistema solar, si no que son compuestas de dos o más estrellas ubicadas en corta aproximación de una a otra, a ordenes de unidades astronómicas (AU por sus siglas en inglés). Estos sistemas multiples se pueden clasificar con mayor precisión para aquellos compuestos de solo dos estrellas, denominados como *sistemas binarios*. Dentro de un sistema binario la corta separación orbital entre ambas estrellas da como consecuencia a fenómenos que surgen mediante la interacción entre las componentes, tanto como la interacción gravitacional debido a sus masas, como a la física interesante que ocurre en el caso de interacciones de material entre una estrella a otra.

Los sistemas binarios estelares ofrecen un laboratorio celeste de gran importancia, ya que debido a la interacción a cortas escalas espaciales nos brindan información acerca de las estrellas que sería imposible obtener de otra manera. [Prša \(2011, Capítulo 2.1\)](#) menciona varios parámetros derivados de observaciones de estos sistemas, como las masas de cada una de las componentes estelares por medio de su interacción gravitacional, la calibración y estudio de la evolución estelar y su dependencia de la masa y luminosidad de la estrella; dadas observaciones de sistemas desconectados, en el cual ambas componentes son de la misma edad pero con diferentes propiedades que influyen su camino evolutivo. La clasificación de estos sistemas se basa tanto en propiedades observacionales—las cuales dependen tanto de las propiedades geométricas del sistema como de nuestra capacidad de observación, en cuanto a la capacidad de la instrumentación disponible—como en las propiedades físicas del sistema, incluyendo la proximidad de las componentes como sus propiedades lumínica.

1.2.1 Geometría del Sistema

Para poder modelar de manera adecuada un sistema binario estelar se necesita conocer la forma geométrica del sistema, tanto sus propiedades orbitales como las formas de las componentes estelares.

1.2.2 Clasificaciones Observacionales

Dependiendo del método de detección y las propiedades aparentes del sistema se puede clasificar un sistema binario de estrellas. Estas clasificaciones son independiente de sus propiedades físicas, como la clase espectral de cada estrella o sus masas individuales. Al determinar su clasificación observacional se puede delimitar las técnicas observacionales que son viables para recabar datos del sistema; un sistema astrométrico sería indistinguible de uno espectroscópico si uno intenta identificar las componentes individuales a simple vista, o con un telescopio demasiado débil para el trabajo.

Las **binarias visuales** son aquellos cuya separación orbital aparente es suficientemente grande para distinguir las dos estrellas individuales en la bóveda celeste. A pesar de que se puede trazar la órbita de la secundaria con varios años de observaciones, se requiere de cálculos adicionales para determinar la órbita exacta de las componentes. Esto se debe a la inclinación del sistema con respecto al eje de observación hacia la Tierra; solo es posible observar “una proyección del elipse orbital relativo en el plano del cielo,” aunque esto se puede superar usando el hecho de que la estrella primaria aparentemente inmóvil debe de estar presente “en un punto focal de la órbita relativa.” [Karttunen et al. \(2017, Capítulo 10\)](#)

Las **binarias espectroscópicas** presentan variaciones periódicas en sus espectros, en donde las líneas espectrales detectadas “oscilan periodicamente alrededor de la longitud de onda

promedio” Kutner (2017, Capítulo 5). Esto se observa debido al *desplazamiento de Doppler*, lo cual causa que la frecuencia de un fotón se recorra hacia frecuencias más pequeñas (azules) o más grandes (rojas) dependiendo de su velocidad radial con respecto al observador, si se va acercando o alejando, respectivamente. Estas también pueden identificadas al observar dos distintos grupos de líneas espectrales, el cual es resultado de la contribución de ambas estrellas.

Las **binarias astrométricas**, al igual que las espectroscópicas, solo muestran una componente visible al ser observada, al contrario de las binarias visibles. Sin embargo, una binaria astrométrica difiere de las otras dos categorías definidas en cuestión de su movimiento observado en la bóveda celeste. Estas muestran un movimiento errático y no-lineal, algo que no se esperaría ver en una estrella solitaria dado su inercia según la primera ley de Newton. Estas perturbaciones son causadas por una estrella secundaria no aparente al observar el sistema.

1.2.3 Binarias Eclipsantes

Una de las propiedades más importantes de identificar de un sistema binario es la *inclinación* de su órbita con respecto a nuestra línea de visión desde el sitio de observación (ya sea la Tierra en caso de un observatorio terrestre o un punto lejano dentro del sistema solar para un telescopio espacial). En dado caso que un sistema tenga una inclinación suficientemente alta se pueden observar eclipses dentro del sistema, en lo que una componente obscurece a su compañera de nuestra línea de visión. Estos eclipses se manifiestan como disminuciones en el flujo total del sistema, brindando información que no se obtendría sin esta perspectiva visual.

1.2.4 Binarias en Contacto

Capítulo 2

Muestra

2.1 Catálogos

2.1.1 Gaia

Originalmente denominado como *GAIA*, la misión de *Gaia* fue lanzada por la **Agencia Espacial Europea (ESA)** el 19 de Diciembre del 2013, con el objetivo de generar un mapa tridimensional de nuestra Galaxia, la Vía Láctea. Esto incluye calcular las propiedades astrométricas y astrofísicas de sus fuentes observadas con mayor precisión que cualquier otro catálogo publicado previamente. Para lograr esto se utiliza un satélite espacial, el cual está denominado como *Gaia*, ubicado en el punto de Lagrange L2 con respecto al sistema Sol-Tierra. Desde este punto la nave tiene una vista sin obstrucciones que le permite observar una cantidad de estrellas enorme, con ~1,000 millones de fuentes visibles con los instrumentos del satélite *Gaia*. [Gaia Collaboration et al. \(2016\)](#)

2.1.1.1 Fotometría

2.1.1.2 Data Release 2

Para facilitar el acceso público a los datos recabados por la misión de *Gaia* la ESA ha escogido liberar los datos públicamente mediante los van recibiendo y procesando. Estos son conocidos como los **Data Releases**. Este trabajo se basa en el **Data Release 2**, el cuál de ahora en adelante será denominado simplemente **GDR2**. Este catálogo está compuesto de las observaciones hechas por *Gaia* entre las fechas de 25 de Julio del 2014 y el 23 de Mayo del 2016, un periodo de tiempo de 22 meses en total. [Gaia Collaboration et al. \(2018\)](#) GDR2 consiste de 1 692 919 135 de fuentes individuales. Existe una gran diversidad de objetos dentro de este catálogo, desde estrellas de secuencia principal, asteroides dentro del sistema solar, hasta estrellas variables en las regiones más lejanas en la Galaxia.

Los datos utilizados en este estudio fueron accedidos a través de el *Gaia Archive*¹, una herramienta libre publicada por la ESA. Este cuenta con una interfaz de ADQL², un lenguaje estructurado para hacer consultas a la base de datos de *Gaia*, incluyendo tablas conectando los datos de *Gaia* con otros catálogos, por ejemplo el catálogo de SDSS.

¹<https://gea.esac.esa.int/archive/>

²<https://www.ivoa.net/documents/ADQL/20180112/PR-ADQL-2.1-20180112.html>

2.1.2 Sloan Digital Sky Survey

La colección de catálogos **Sloan Digital Sky Survey**³ (de ahora en adelante será referido como **SDSS**) compila varias fuentes de datos astronómicos y astrofísicos en un sitio centralizado, con el objetivo de crear un mapa tridimensional del Universo con una precisión no vista antes. Estos incluyen imágenes de objetos astronómicos en varios colores, acompañados de un espectro obtenido como parte de esta misión. Para los finales del siglo XX habían surgido avances tecnológicos que llegarían a revolucionar la astronomía observacional. De estos, los de mayor interés ocurrieron con los detectores de estado sólido y en la capacidad computacional de procesamiento. Partiendo de estos empezaron a desarrollar la infraestructura necesaria para recabar datos fotométricos y espectroscópicos.

El instrumento principal utilizado es el telescopio de 2.5m, ubicado en el observatorio *Apache Point Observatory*, descrito a detalle en [Gunn et al. \(2006\)](#). Este telescopio de diseño de Ritchey-Chrétien alimenta dos instrumentos separados; una CCD multi-banda de ancha área, y un par de espectrógrafos alimentados por fibra óptica. Su construcción empezó en 1998, pero no fue hasta el año 2000 que estuvo operacional.

2.1.2.1 Data Release 9

SDSS libera datos en colecciones iterativas; es decir cada Data Release (DR) liberado contiene todas las observaciones que forman parte del DR previo, agregando los datos recabados durante el periodo de observación para el DR actual. Cada DR cae bajo una fase de operaciones de SDSS, delimitado tanto por las fechas de observaciones como por los instrumentos y tipos de datos disponibles. Para el periodo operacional de **GDR2** el catálogo más actual de SDSS era el DR9 publicado como parte de SDSS-III⁴. Esta tercera fase fue marcada por una gran mejora del equipo espectroscópico, instalando nuevos instrumentos con los cuales pudieron analizar la dinámica de nuestra Galaxia, al igual que otras galaxias y planetas gaseosos extra-solares.

2.2 Szkody, et al. (2002): Cataclysmic Variables from the Sloan Digital Sky Survey

Con el lanzamiento del SDSS, Szkody y su equipo reconocieron una nueva área de oportunidad para expandir la población de variables cataclísmicas (VCs) conocidas en la Galaxia. De interés particular son aquellos sistemas que más se aproximan al periodo mínimo según los modelos evolutivos de las VCs; estos objetos llegan a magnitudes fuera del alcance de la mayoría de los telescopios usados hasta este entonces, por lo cual no han sido el objetivo de estudio en la literatura. Partiendo de SDSS Szkody y colaboradores iniciaron una búsqueda de VCs tenues, con la expectativa de capturar una muestra representativa de variables cataclísmicas en nuestra galaxia, en particular obteniendo muestras de poblaciones históricamente imperceptibles a nuestros instrumentos.

Para restringir los sistemas que buscar, Szkody y colaboradores aplicaron un criterio de color basado en el trabajo de [Krisciunas et al. \(1998\)](#), en el cual lograron determinar concentraciones de diferentes tipos de objetos utilizando diagramas de color-color. A pesar de haber hecho estas observaciones antes del año de lanzamiento de SDSS, Krisciunas y colaboradores lograron obtener observaciones utilizando equipo cuyas características se asemejan a las de los instrumentos utilizados para SDSS. Partiendo de estos resultados, Szkody y colaboradores

³<https://www.sdss.org>

⁴<https://www.sdss3.org/index.php>

determinaron criterios en las regiones azules y rojas del espectro, cuyos valores se encuentran en la ecuaciones en 2.1.

$$\begin{aligned}
 u^* - g^* &< 0.45 \\
 g^* - r^* &< 0.7 \\
 r^* - i^* &> 0.30 \\
 i^* - z^* &> 0.4
 \end{aligned}
 \tag{2.1}$$

Una vez recabada la muestra de candidatas a observar, Szkody y colaboradores confirmaron su estatus como variables cataclísmicas basado en los espectros obtenidos del SDSS desde el *Apache Point Observatory*. Estos datos los complementaron con observaciones de espectrografía con el telescopio de 3.5m en el *Apache Point Observatory* y observaciones fotométricas utilizando el telescopio de 0.76m en el *Manastash Ridge Observatory* de la Universidad de Washington. En total identificaron 22 sistemas como variables cataclísmicas, incluyendo 3 objetos previamente estudiados e identificados como tal. Presentan la concentración de los objetos en el diagrama color-color, vistos en la figura 2.1.

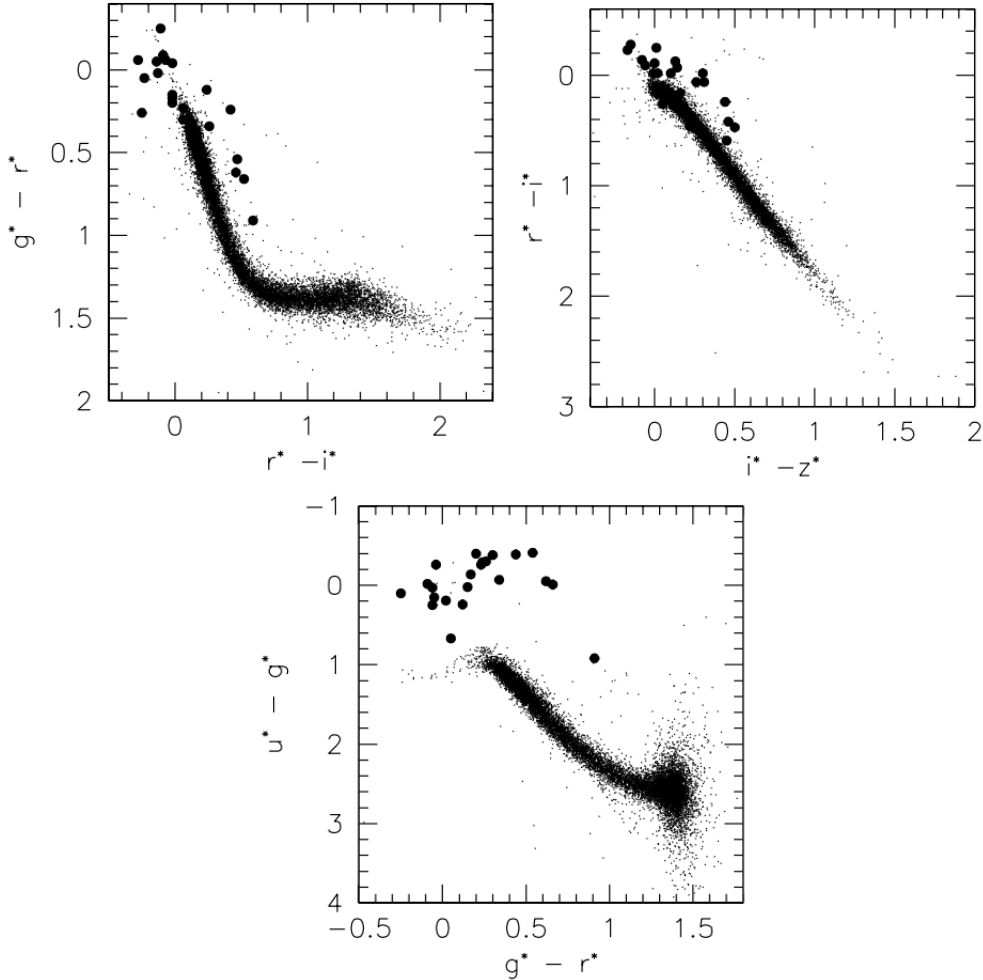


Figura 2.1: Variables cataclísmicas identificadas y observadas por Szkody y colaboradores (círculos negros fuertes). Se puede apreciar la separación de las variables cataclísmicas del locus estelar, vista en los puntos negros. [Szkody et al. \(2001\)](#)

2.3 Criterios de Selección

Este trabajo tiene como objetivo realizar una campaña de observación para un sistema pobremente estudiado, con el propósito de confirmar su estatus como variable cataclísmica o como una binaria eclipsante, dependiendo del sistema. Para esto, se implementó un proceso para separar e identificar objetos de interés para observar desde el Observatorio Astronómico Universitario en Iturbide. A continuación se describe los aspectos técnicos importantes de la búsqueda. El código completo se encuentra en la carpeta `obsrv_plan`, cuyo punto de entrada se ubica en el script `main.py`.

2.3.1 Búsqueda en Gaia

Para obtener la muestra inicial de objetos de interés acudimos a la base de datos de Gaia. Tal como es descrito en la sección 2.1.1 la selección de objetos fue llevada a cabo dentro del *Gaia Archive* utilizando su interfaz de ADQL. Sin embargo, los criterios definidos por Szkody y colaboradores solo fueron definidos para el sistema fotométrico de SDSS; para poder utilizar estos primero se llevó a cabo una conversión de las magnitudes reportadas en el catálogo de Gaia a magnitudes en los pasa bandas de SDSS. Esta conversión se llevó a cabo utilizando las siguientes relaciones definidas en la documentación de Gaia DR3 [van Leeuwen et al. \(2022\)](#), como se puede ver en la figura 2.2. Partiendo de estas magnitudes transformadas se aplicó los criterios definidos en [Szkody et al. \(2001\)](#). Sin embargo, solo dos de los 4 índices de color se pueden aplicar a la muestra de Gaia; no están definidas transformaciones para las bandas *u* ni *z* de SDSS, ya que estas abarcan longitudes de onda más extremas que las observadas por Gaia. El query de ADQL ejecutada se puede encontrar en el apéndice A. Se obtuvieron en total más de 3 630 000 fuentes, el cual representa un 0.2 % de los 1 811 709 771 objetos reportados en el DR3 de Gaia. Un query similar fue ejecutado en la base de datos de Gaia para el segundo Data Release (DR2) (apéndice A.1).

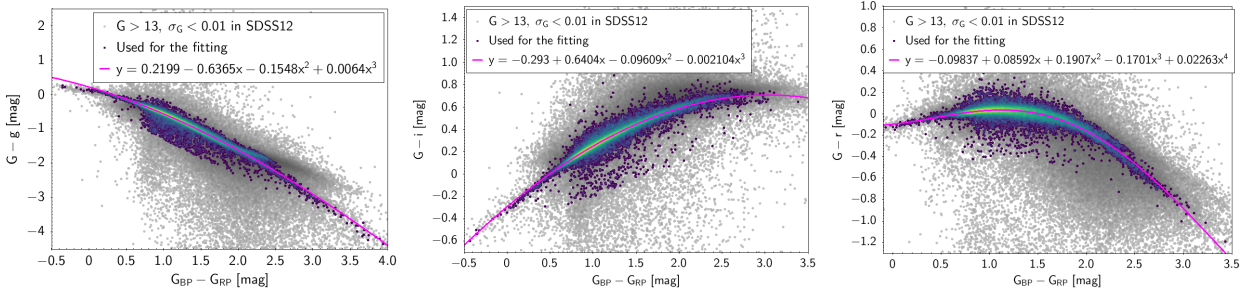


Figura 2.2: Relación empírica entre las magnitudes reportadas en GDR3 y SDSS12. Las relaciones están dadas para 3 de las 5 bandas de SDSS12, debido a las diferencias entre las pasa bandas de Gaia y SDSS. [van Leeuwen et al. \(2022\)](#)

2.3.2 Selección de Objetos Observables

La ubicación en la bóveda celeste de un sistema candidata juega un papel importante en la viabilidad de una campaña de observación desde el OAU. Esto determina si un objeto es visible desde la locación geográfica del observatorio durante las fechas de observación; de otra manera sería imposible apuntar un telescopio al sistema. Para realizar esta tarea se utilizaron los módulos de `astroplan` [Morris et al. \(2018\)](#) y `astropy` [The Astropy Collaboration et al. \(2018\)](#), aplicando el algoritmo a los objetos resultados de la búsqueda en la base de datos de Gaia. El código responsable se encuentra en el archivo `observable_targets.py`.

2.3.3 Búsqueda en SIMBAD

Una vez obtenidos los objetos de interés de la selección de objetos visibles se utilizó la base de datos de SIMBAD⁵ [Wenger et al. \(2000\)](#) para restringir los objetos de interés a un tamaño manejable, con el objetivo de obtener un sistema clasificado como variable cataclísmica, binaria eclipsante, o candidata a alguna de estas clasificaciones. Uno de los objetivos de este trabajo de tesis fue realizar una campaña de observación al sistema elegido, con finalidad de obtener una curva de luz fotométrica; por lo tanto, un requisito para este trabajo de maestría es que este sistema sea uno con una cantidad mínima de estudios antecedentes; el estudio del sistema dependerá en gran parte de la curva de luz obtenida de las observaciones. Esta búsqueda se llevó a cabo utilizando el API de SIMBAD, el cual acepta mensajes y encuestas por HTTP. El código relevante a esta búsqueda se encuentra en [retrieve_vots.py](#). A pesar de no haber obtenido una muestra significativa de candidatas a binarias eclipsantes se identificó un sistema de interés.

2.4 ATO J339.9469+45.1464 - EclBin_Candidate

[Heinze et al. \(2018\)](#) es un estudio donde se realizó una búsqueda de estrellas variables dentro del catálogo del **Asteroid Terrestrial-impact Last Alert System (ATLAS)**, aprovechando su cobertura de aproximadamente 13 000 deg² al menos 4 veces por noche. Esta cadencia de observación es ideal para observar estrellas variables; el tiempo de observación es suficientemente corto para obtener una curva de luz adecuada para estudiar estos sistemas. Lograron clasificar las estrellas variable del catálogo en 15 distintas categorías de la morfología de sus curvas de luz; de estas reportan que 74 700 fuentes son binarias eclipsantes. A pesar de haber confirmado la clasificación de estas fuentes, aún quedan varios sistemas cuya naturaleza es desconocido, sus únicos descriptores vienen siendo una clasificación tentativa.

ATO J339.9469+45.1464 está clasificado como una de estas candidatas a binaria eclipsante. Como este sistema carece una clasificación concreta, no existe mucha información acerca de ella. Tiene una magnitud promedio de aproximadamente 16.91, lo cual lo hace un sistema tenue. Con una ascensión recta de 22 39 47.2569 y declinación de +45 08 47.0311, **ATO J339.9469+45.1464** es un sistema ideal para observar desde el OAU en Iturbide.

⁵<http://simbad.cds.unistra.fr/simbad/>

2.4.1 Datos de Gaia

Como parte de sus observaciones regulares, Gaia ha observado ATO J339.9469+45.1464 en 3 años de operación, obteniendo magnitudes del sistema en varias etapas en su fase empezando desde agosto del 2014 y las últimas observaciones siendo de mayo del 2017. En la figura 2.3 se puede ver las 3 curvas de luz de Gaia. Aparte de ser otra fuente de información de la variabilidad en el sistema, las observaciones en 3 diferentes pasa bandas relacionados uno con otro permite el análisis del color del sistema, el cual está ligado con las temperaturas de las estrellas individuales.

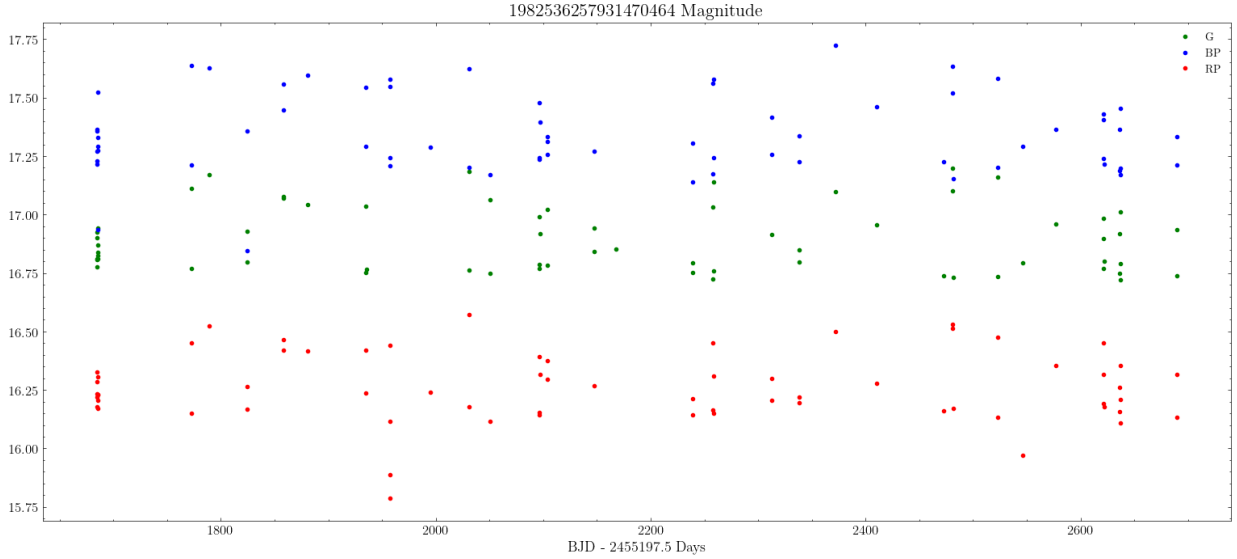


Figura 2.3: Magnitud de ATO J339.9469+45.1464 registrada en la base de datos de Gaia DR3. Se puede apreciar la variabilidad de aproximadamente 0.5 mag en el brillo del sistema, la cual la atribuimos a la presencia de eclipses en el sistema binario. [van Leeuwen et al. \(2022\)](#)

2.4.2 Datos de ZTF

Capítulo 3

Observaciones

El segundo objetivo principal de este trabajo de tesis de maestría es realizar una campaña de observación a ATO J339.9469+45.1464 . Desde el **Observatorio Astronómico Universitario** en Iturbide, N.L. se midió el brillo del sistema durante 9 noches de observación; mediante la técnica de fotometría diferencial se obtiene una curva de luz, la cual se utiliza para determinar la naturaleza del objeto observado.

3.1 Observatorio Astronómico Universitario - Iturbide

El **Observatorio Astronómico Universitario - Iturbide** (el cual de ahora en adelante será referido como el OAU), ubicado en el cerro Picacho en el municipio de Iturbide, Nuevo León, es un nuevo sitio dedicado a la observación astronómica, equipado para realizar observaciones del Sol, monitoreo de basura espacial, y la observación de objetos variables, como los sistemas binarios o asteroides. A continuación se describe el equipo utilizado; como software de control se utilizó **Nighttime Imaging 'N' Astronomy**¹ (NINA), el cual permita consolidar el control de todas las componentes mecánicas en una sola aplicación.

El telescopio utilizado para hacer las observaciones del sistema fue el tubo óptico **CDK20** de **PlaneWave Instruments**² con un número $f/6.8$. Este telescopio de diseño *Dall-Kirkham corregido* cuenta con un grupo de lentes frente al espejo esférico secundario, el cual resta los efectos de la aberración esférica presente en otras configuraciones de espejos primarios y secundarios, resultando en una imagen más nítida. Este instrumento, combinado con una montura ecuatorial **Orion HDX110**, nos permite una vista clara de la bóveda celeste a 30° arriba del horizonte, con capacidad de observar objetos tenues más allá de 17 magnitudes.

El CCD usado para obtener las imágenes fue el **QHY174GPS**³. Este CCD cuenta con una resolución de 1920×1200 pixeles. Para reducir el ruido térmico tiene un mecanismo de enfriamiento termoelectrónico, el cual lo puede enfriar a una temperatura de -40°C bajo la temperatura ambiente. Frente al CCD va equipado una rueda de filtros **ZWO 7x36mm**⁴, la cual puede ser equipada con 7 filtros distintos. Para las observaciones recabadas en este trabajo, utilizamos solamente el filtro **Luminance**, el cual se aproxima a la región del visible del espectro electromagnético (**Figura 3.1**).

¹<https://nighttime-imaging.eu>

²<https://planewave.com/product/cdk20-ota/>

³<https://www.qhyccd.com/qhy174gps-imx174-scientific-cooled-camera/>

⁴<https://astronomy-imaging-camera.com/product/new-zwo-efw-7x36mm/>

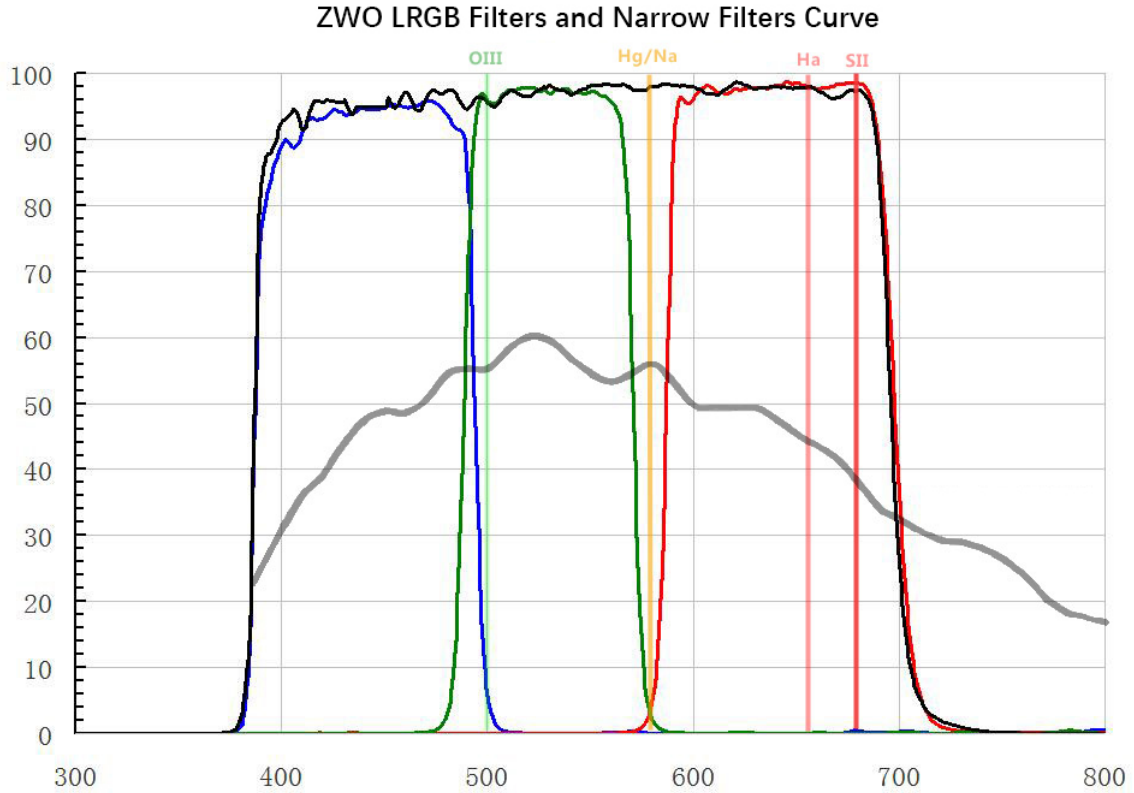


Figura 3.1: Curva de transmisión de filtros de ZWO. El filtro de **Luminance** se encuentra como la curva negra, abarcando todo el espectro visible, desde los 400nm hasta 700nm. Gráfica obtenida de la [página de productos de ZWO](#).

3.2 Fotometría

Para este trabajo se realizó una campaña de observación durante los últimos meses del 2022, con la finalidad de observar el sistema durante una fase orbital completa. Las fechas y duraciones de cada día de observación se encuentra en la **Tabla 3.1**. Durante varias de estas noches de observación las condiciones del sitio fueron menos que ideal; tanto las condiciones meteorológicas como contratiempos causados por el equipo en si causaron interrupciones en la medición del brillo del sistema. Esto es esperado en un observatorio en proceso de desarrollo; a pesar de los problemas técnicos, se pudieron obtener datos de calidad aceptable.

Fecha	HJD Inicio +2 459 000	Tiempo Expocisiones	Duración
2022-10-21	874.6627527894452	114 · 60 s	2.59 h
2022-10-27	880.7675264584832	93 · 60 s	1.8616666666666666 h
2022-11-05	889.6711328472011	98 · 60 s	2.0219444444444443 h
2022-11-26	910.7179540507495	56 · 60 s	1.5502777777777779 h
2022-12-06	920.5510403933004	243 · 60 s	4.900277777777778 h
2022-12-07	921.5630493750796	163 · 60 s	4.201388888888889 h
2022-12-08	922.5338555905037	188 · 60 s	5.570277777777778 h
2022-12-09	923.5413328357972	119 · 60 s	5.328333333333333 h
2022-12-10	924.5309011922218	122 · 60 s	2.202777777777778 h

Cuadro 3.1: Fechas de observaciones fotométricas desde el OAU.

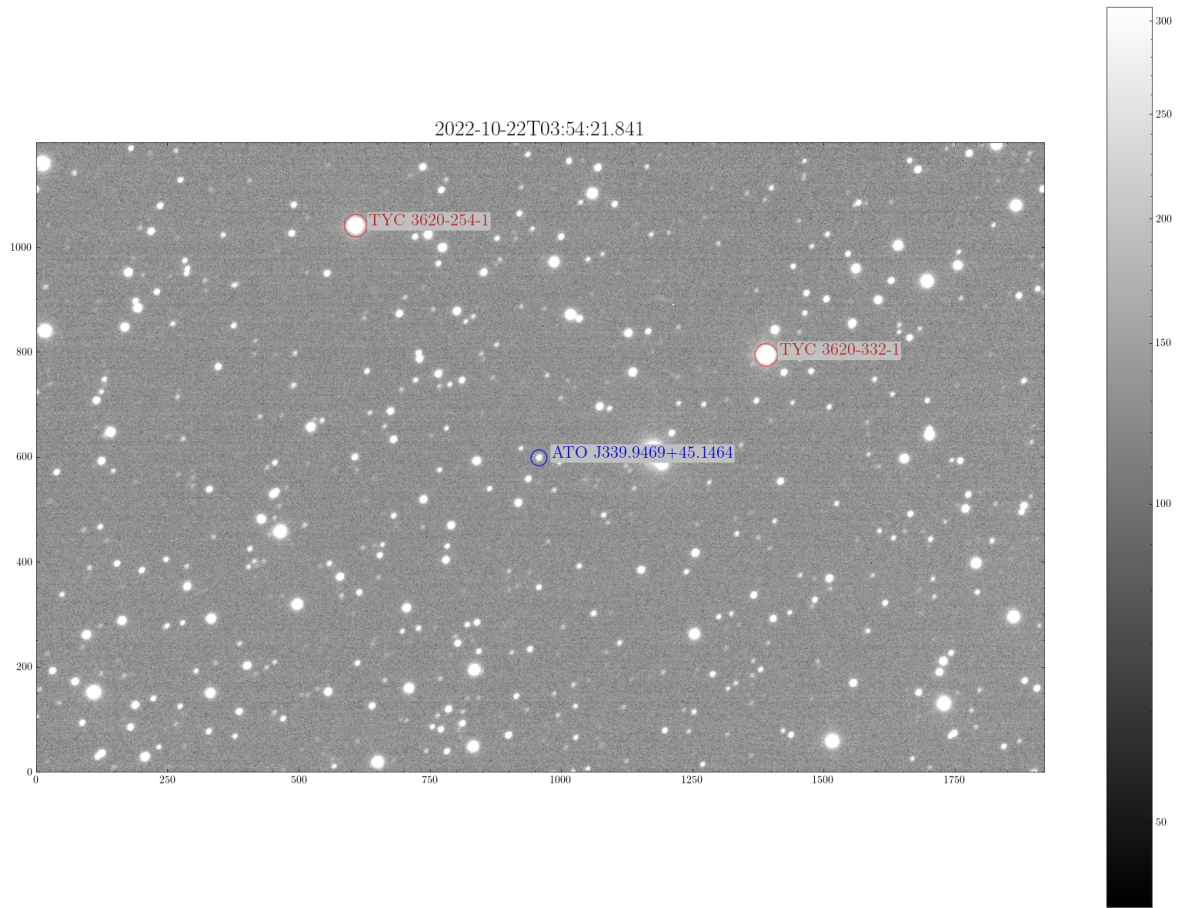


Figura 3.2: Imagen del campo de ATO J339.9469+45.1464, junto a 2 estrellas de comparación usadas en la fotometría diferencial marcadas en anillos rojos.

3.2.1 Estrellas de Comparación

Para determinar la magnitud diferencial de un objeto se necesita una estrella de comparación que yazca dentro del campo de la imagen de ciencias. Una manera de encontrar estrellas de referencias adecuadas es utilizando el [Variable Star Plotter](#) de la *AAVSO*; sin embargo, debido al diminuto campo de visión de nuestras imágenes (aproximadamente $1'$ de largo), no se encuentra alguna estrella standard registrada. Por lo tanto se utilizaron estrellas no variables de la base de datos de SIMBAD: [TYC 3620-254-1](#) y [TYC 3620-332-1](#). Sus posiciones relativo a la estrella objetivo ATO J339.9469+45.1464 se puede ver en la figura 3.2.

3.2.2 Procesamiento de Imágenes

La limpieza de las imágenes incluyó la corrección de bias, darks, y flats por medio de imágenes de calibración, las cuales fueron tomadas cada noche de observación. Esta sustracción se realizó utilizando el paquete `ccdproc` en Python, haciendo uso de sus funciones dedicadas al procesamiento de imágenes de CCD [Craig et al. \(2023\)](#). El código relevante se puede encontrar en el notebook [photometry_clean.ipynb](#). Una vez que las mediciones hayan sido corregidas de errores sistemáticos, fue necesario trasladar los datos dentro de las imágenes para que ATO J339.9469+45.1464 quede en el centro del campo, facilitando la fotometría por apertura. Dentro del mismo notebook [photometry_clean.ipynb](#) se ejecutó una tarea de *plate solving* para cada imagen calibrada; el proceso de *plate solve*, llevado a cabo utilizando *Astrometry* [Lang et al. \(2010\)](#), toma como referencia estrellas dentro del campo de la imagen, comparando contra una

base de datos pre-definida para determinar las coordenadas físicas que corresponden a una imagen. Esta información va encapsulada dentro de los metadatos del archivo FITS, conocido como **World Coordinate System (WCS)**. Una vez que una imagen sea resuelta se puede proyectar a las coordenadas de otra imagen, efectivamente “apilando” el sistema a observar.

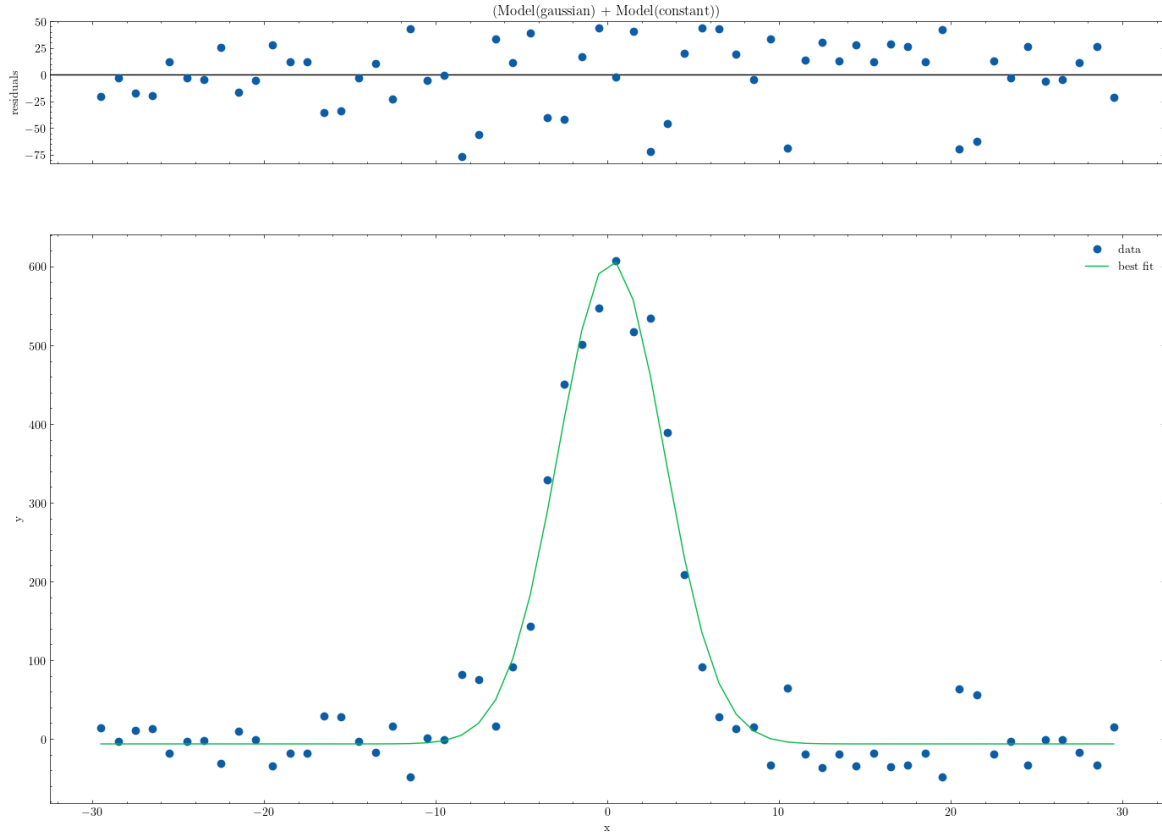


Figura 3.3: Perfil Gaussiano de ATO J339.9469+45.1464 . Esta imagen fue generada en el notebook [qphot_params_helper.ipynb](#), en donde se toma un corte transversal los pixeles del centro de la imagen del sistema. A este perfil radial se hace un ajuste de modelo Gaussiano con la finalidad de determinar un tamaño adecuado de aperturas basado en la anchura del modelo.

Utilizando las imágenes proyectadas se obtuvo el brillo de ATO J339.9469+45.1464 utilizando la tarea `qphot` de IRAF, dando como resultado magnitudes y flujos instrumentales del sistema. Para elegir el mejor tamaño de apertura para cada día se realizó un análisis del comportamiento del brillo de ambas estrellas de referencia; ya que estas se conocen que son estrellas singulares que carecen de variabilidad intrínseca esperamos que sus magnitudes a lo largo del tiempo no muestren cambios significativos. Al mismo tiempo, debido a las condiciones variables durante cada noche de observación no todas las magnitudes medidas resultaron útiles debido a una imagen barrida. Para no tener que descartar toda una noche de observación se implementó un proceso de *sigma clipping*, en el cual se descartan aquellas observaciones que caen fuera de un rango aceptable pre-determinado, tomando TYC 3620-332-1 como estrella de referencia. El proceso completo se encuentra en el código [qphot_sigma_clip.ipynb](#).

3.2.3 Fotometría Diferencial

Para obtener una magnitud diferencial de ATO J339.9469+45.1464 se necesita de una estrella de referencia cuya magnitud en el visible es conocida y bien estudiada. TYC 3620-332-1 ha sido observada por varios sondeos, por lo cual se ha medido su magnitud en el visible de 11.57. Utilizando esta estrella conocida podemos calcular la magnitud diferencial de ATO

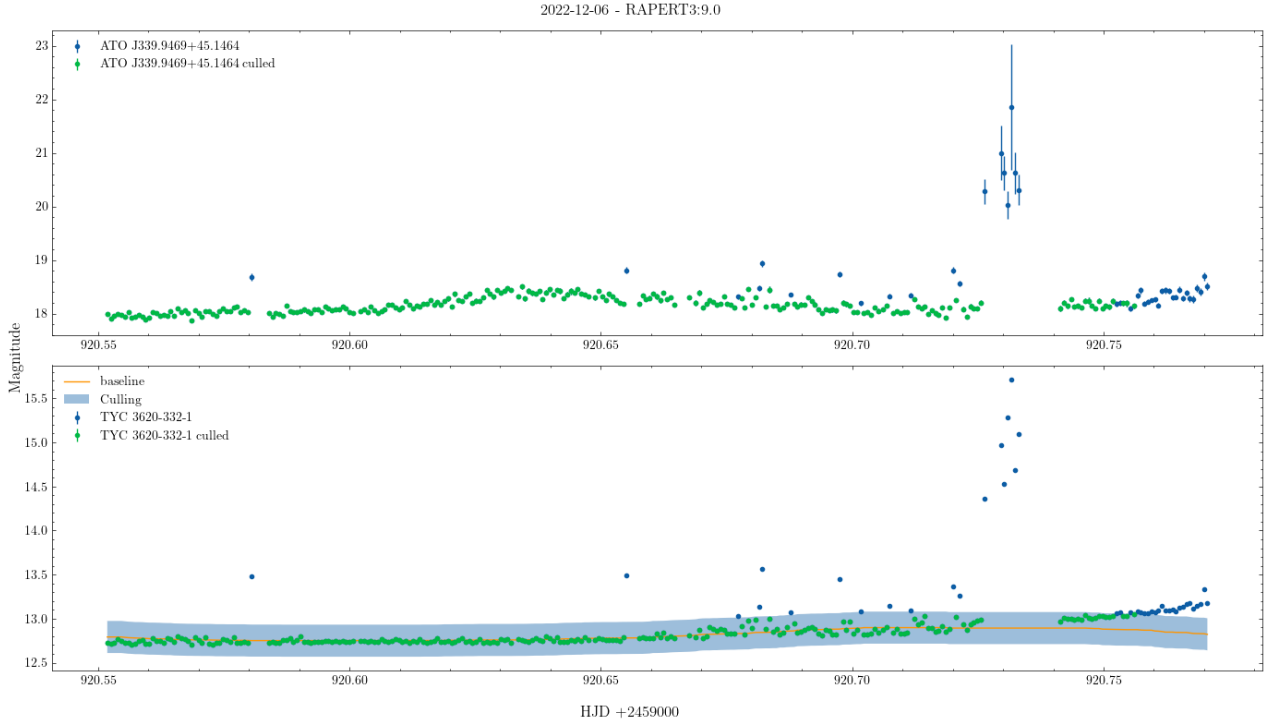


Figura 3.4: Resultado del sigma clipping para el 6 de diciembre. Este proceso se ejecutó para cada fecha de observación, con el fin de eliminar solo los datos más problemáticos. La línea base fue construida usando una técnica de media recorrida, para solo descartar aquellos datos cuya variación local es significativa.

J339.9469+45.1464 con la **Ecuación 3.1**. Una gran ventaja de la fotometría diferencial a comparación de magnitudes absolutas es que llega a minimizar los efectos causados por obstrucciones del cielo, como nubes intermitentes o celdas turbulentas en la atmósfera. Los resultados para un día de observación se encuentra en la **Figura 3.5**, donde se puede apreciar la variabilidad de ATO J339.9469+45.1464 comparado con ambas estrellas de referencia. Este proceso se repite para cada noche de observación, al final obteniendo una curva de luz del sistema visto en la **Figura 3.6**. El código completo se encuentra en [qphot_sigma_clip.ipynb](#).

$$\begin{aligned} E_{\text{inst}} &= V_{\text{TYC3620-332-1}} - V_{\text{TYC3620-332-1,inst}} \\ V_{\text{ATOJ339.9469+45.1464}} &= V_{\text{ATOJ339.9469+45.1464,inst}} - E_{\text{inst}} \end{aligned} \quad (3.1)$$

Ecuación 3.1: Ecuación para obtener la magnitud diferencial de ATO J339.9469+45.1464. El primer paso es calcular el error en las magnitudes diferenciales medidas, E_{inst} utilizando la magnitud conocida de nuestra estrella de comparación, TYC 3620-332-1, $V_{\text{TYC3620-332-1}}$ y restando la magnitud instrumental medida de las imágenes de observación. Una vez obtenido el error este se resta de la magnitud instrumental de ATO J339.9469+45.1464, $V_{\text{ATOJ339.9469+45.1464,inst}}$, obteniendo su magnitud diferencial en el visible $V_{\text{ATOJ339.9469+45.1464}}$.



Figura 3.5: Magnitud diferencial para ATO J339.9469+45.1464 junto a las magnitudes de TYC 3620-332-1 y TYC 3620-254-1. Esta segunda estrella fue utilizada como estrella de campo, para corroborar que la resta descrita en la ecuación 3.1 adecuadamente eliminó los errores sistemáticos en otra estrella de referencia.

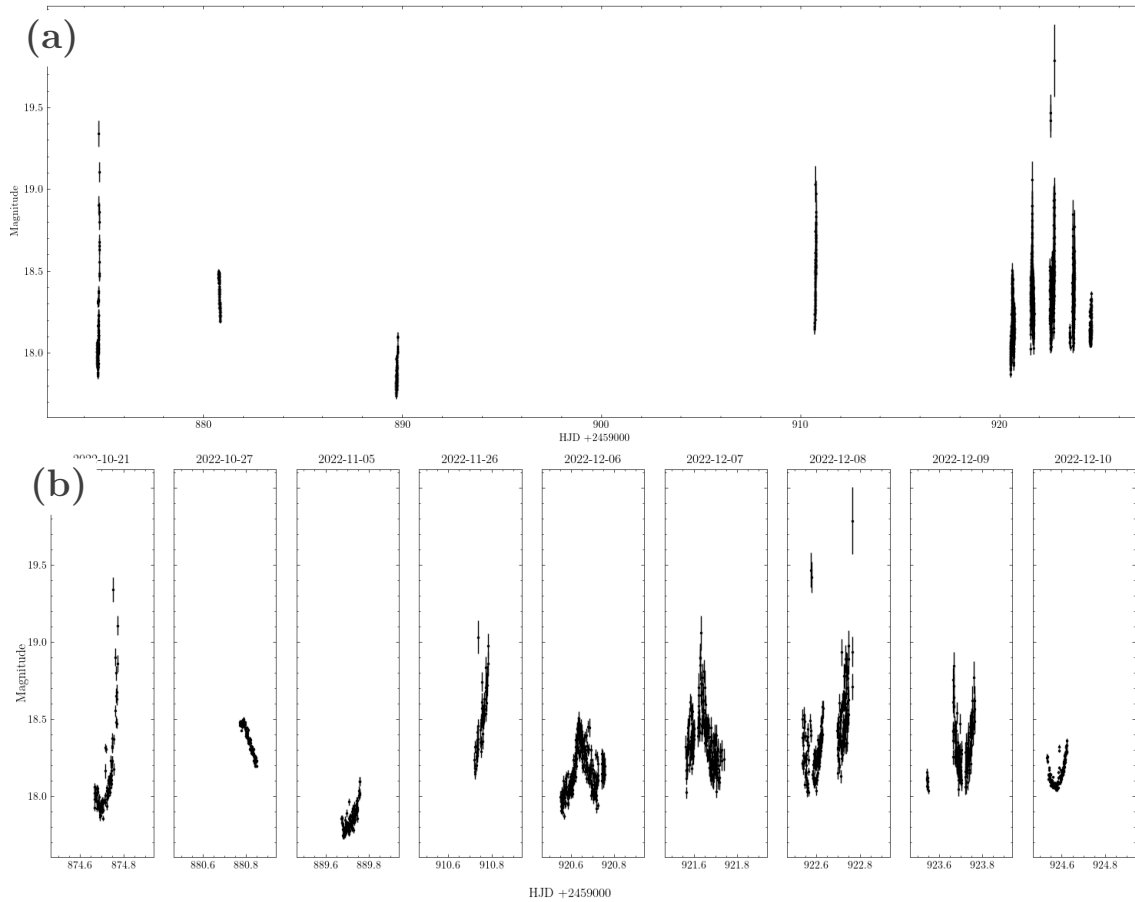


Figura 3.6: Magnitud diferencial de ATO J339.9469+45.1464. Ambas gráficas muestran los errores de medición, las cuales fueron más altas de lo ideal debido a las condiciones del sitio. **a)** Curva de luz completa, con cada día de observación. **b)** Curva de luz segmentada por día. Aquí se logra apreciar la cadencia de observación, viendo como cada día se logra observar una fase diferente del sistema.

Capítulo 4

Metodología

4.1 Análisis del Periodo Orbital

Una de las propiedades más importantes presente en la curva de luz de una binaria eclipsante es su **periodo orbital**. Partiendo del periodo orbital es posible presentar los datos observacionales en el espacio fase en vez de tiempo, el cual nos permite ajustar modelos analíticos para determinar ciertas propiedades del sistema binario. Dada una curva de luz se puede encontrar el periodo orbital usando **periodogramas**: herramientas utilizadas para generar un espectro de potencias para una serie de tiempo periódica. Para series de tiempo cuyo muestreo no es uniforme en el tiempo (como es común de observaciones astronómicas) se utiliza el periodograma **Lomb-Scargle**, derivado de la transformada de Fourier [VanderPlas (2017)]. Usando un mallado suficientemente fino para explorar el espacio de frecuencias se puede encontrar la frecuencia de mayor potencia, indicando el periodo orbital del sistema; al mismo tiempo, para restringir esta malla de periodos se impuso un límite máximo de 1 día, basado en las primeras observaciones de Iturbide. El espectro de frecuencias se encuentra en la **Figura 4.1**.

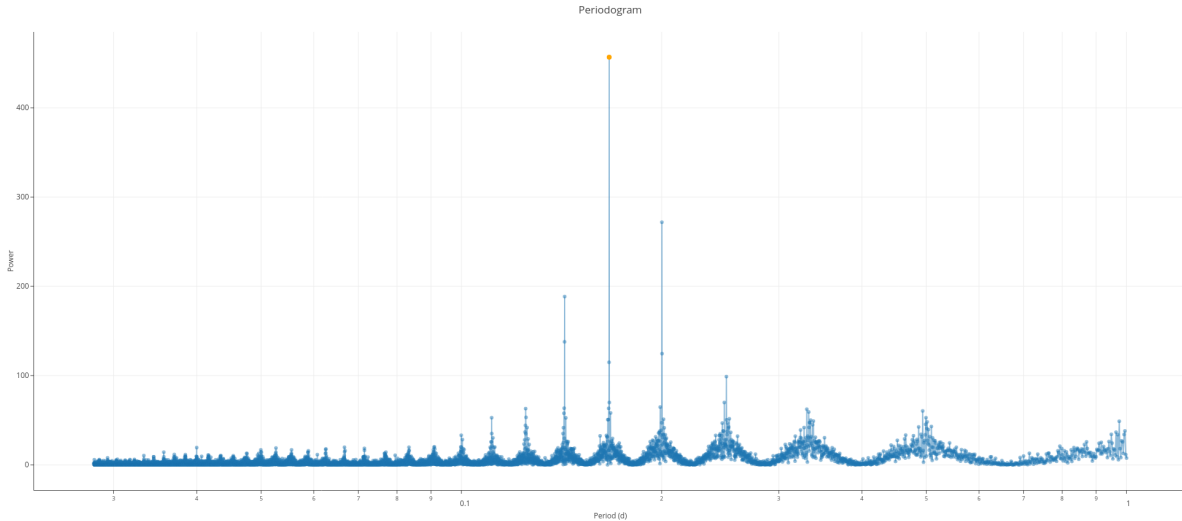


Figura 4.1: Espectro de frecuencias de las curvas de luz fotométricas de ATO J339.9469+45.1464, utilizando observaciones de ZTO en el filtro R. Este periodograma fue generado utilizando la herramienta del IRSA dedicada al análisis de series de tiempo, **Time Series Tool**. El pico de más alta potencia está ubicado en el periodo de 0.1667834993 d [4.002803983 h]

Dado este espectro de frecuencias encontramos que el periodo orbital yace en la segunda armónica de la frecuencia principal. Esto se debe a los requisitos para analizar una curva de

luz de un sistema binario eclipsante; estos muestran dos valles en el espacio fase, las cuales corresponden a las etapas en la curva de luz en las que se observan eclipses en el sistema. Esto es necesario para poder modelar la curva de luz en fase como una Gaussiana doble, el modelo aceptado para una binaria eclipsante. Utilizando la segunda armónica de la frecuencia de más alta potencia se puede ver esta forma esperada de la curva de luz, como se puede ver en la **Figura 4.2**. El periodo orbital encontrado es de 8.005607976 horas.

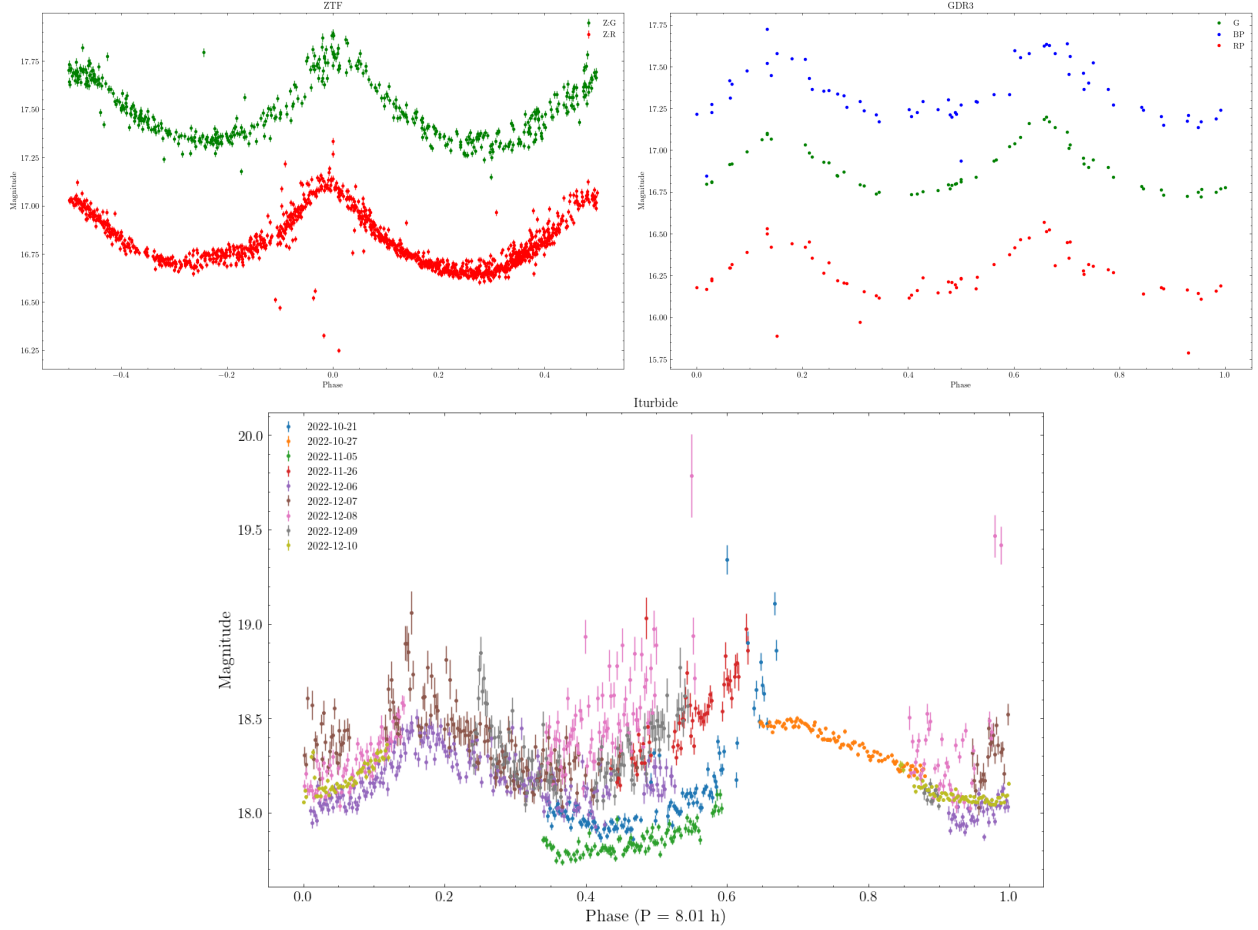


Figura 4.2: Curvas de luz de ZTF, Gaia e Iturbide en espacio fase dado un periodo orbital de 8.005607976 horas. El tiempo de conjunción superior son corregidos en los siguientes pasos de afinación del modelo de PHOEBE, el cual ajusta la fase 0 para que coincidan las 3 curvas de luz. Las observaciones de Iturbide se clasifican por su noche de observación, indicado por su color.

4.2 Normalización de Flujos

Tenemos a nuestra disposición las cuentas de fotones que corresponden a sus magnitudes para las curvas de luz de Gaia, para las cuales el flujo reportado es el promedio de todas las mediciones hechas en un transito, e Iturbide. Sin embargo, estas cuentas crudas no son adecuadas para el ajuste de modelo con PHOEBE; estas producen resultados no físicos cuando son utilizadas sin tratamiento adicional. Para esto las magnitudes determinadas en la sección anterior se convierten a flujos normalizados con la **Ecuación 4.1**. Esta transformación fue aplicada a todas las curvas de luz recabadas (Gaia, ZTF, Iturbide) para poder trabajar con datos consistentes al momento de desarrollar el modelo computacional en PHOEBE.

$$f_p = 10^{-\frac{2}{5} \cdot (m_p - m_0)} \quad (4.1)$$

Ecuación 4.1: Ecuación usada para obtener flujos para cada pasa banda p . Esta determina el flujo normalizado f_p desde la magnitud reportada m_p utilizando una magnitud de referencia m_0 .

4.2.1 Preservación de Color

Gracias a las observaciones en varias pasa bandas tenemos información del color del sistema, debido a la diferencia de magnitud. Sin embargo PHOEBE trabaja solo con flujos, por lo cual la transformación descrita en la [Sección 4.2](#) fue necesaria. Para preservar el color por diferencia de magnitud se determina un solo valor de m_0 con el cual convertir las magnitudes; este m_0 corresponde a la magnitud en 0.25 de fase del pasa bandas más tenue del sistema. PHOEBE tablas de coeficientes que relacionan la temperatura efectiva del sistema binario con la diferencia de flujos. [Prša (2011)]

En este trabajo se dividieron las curvas de luz de ATO J339.9469+45.1464 basado en su fuente: las de Gaia (G, G_{BP}, G_{RP}), las de ZTF ($ZTF : G, ZTF : R$), y la de Iturbide. Podemos determinar 2 diferentes colores del sistema, entre la diferencia de color en Gaia y ZTF (como solo se observó a ATO J339.9469+45.1464 con un solo filtro en Iturbide no contamos con datos de color). Para ZTF se tomó la magnitud de $ZTF : G$. Las curvas de luz en fase se pueden ver en la [Figura 4.3](#), donde se puede apreciar como preserva la diferencia de magnitud vista en [Figura 4.2](#). El código responsable de esta reducción se encuentra en [light_curves.ipynb](#) para Gaia, [light-curve-processing.ipynb](#) para ZTF, y [qphot-timeseries-analysis.ipynb](#) para Iturbide.

4.3 Modelo Computacional

Usando todas las curvas de luz disponible para el sistema ATO J339.9469+45.1464 — tanto de Gaia como los datos recabados de Iturbide — se puede generar un modelo computacional cuyas propiedades físicas pueden adecuadamente explicar los datos observacionales. Este método al final daría como resultado una *solución fotométrica* del sistema. En el mejor de los casos, esta solución muestra un valor satisfactorio de ajuste a los datos observacionales. A continuación se plasma el proceso que se llevó a cabo para llegar a una solución fotométrica del sistema ATO J339.9469+45.1464; esta solución no es única en el sentido que otra combinación de parámetros podría llegar a las mismas conclusiones.

4.3.1 Estimaciones Iniciales

Una vez determinado el periodo orbital del sistema se puede empezar un estudio de la morfología de las curvas de luz en fase. PHOEBE para facilitar esto ofrece distintos métodos para generar las primeras estimaciones de parámetros físicos del sistema. El estimador **EBAI-KNN** para estimar los siguientes parámetros: el *tiempo de conjunción superior* (`t0_supconj`), la *razón de temperaturas* (`teffratio`), la *inclinación orbital* (`incl@binary`), el *factor de relleno* (*fillout factor* en inglés, `fillout_factor`), y la *razón de masas* (`q`). A pesar que dentro de PHOEBE estén implementados estimadores adicionales, solo se puede aplicar el **EBAI-KNN** estimador; esto se debe a que el modelo del sistema del que parte este trabajo corresponde al de una binaria en contacto (elegido por la morfología aparente de la curva de luz de Iturbide).

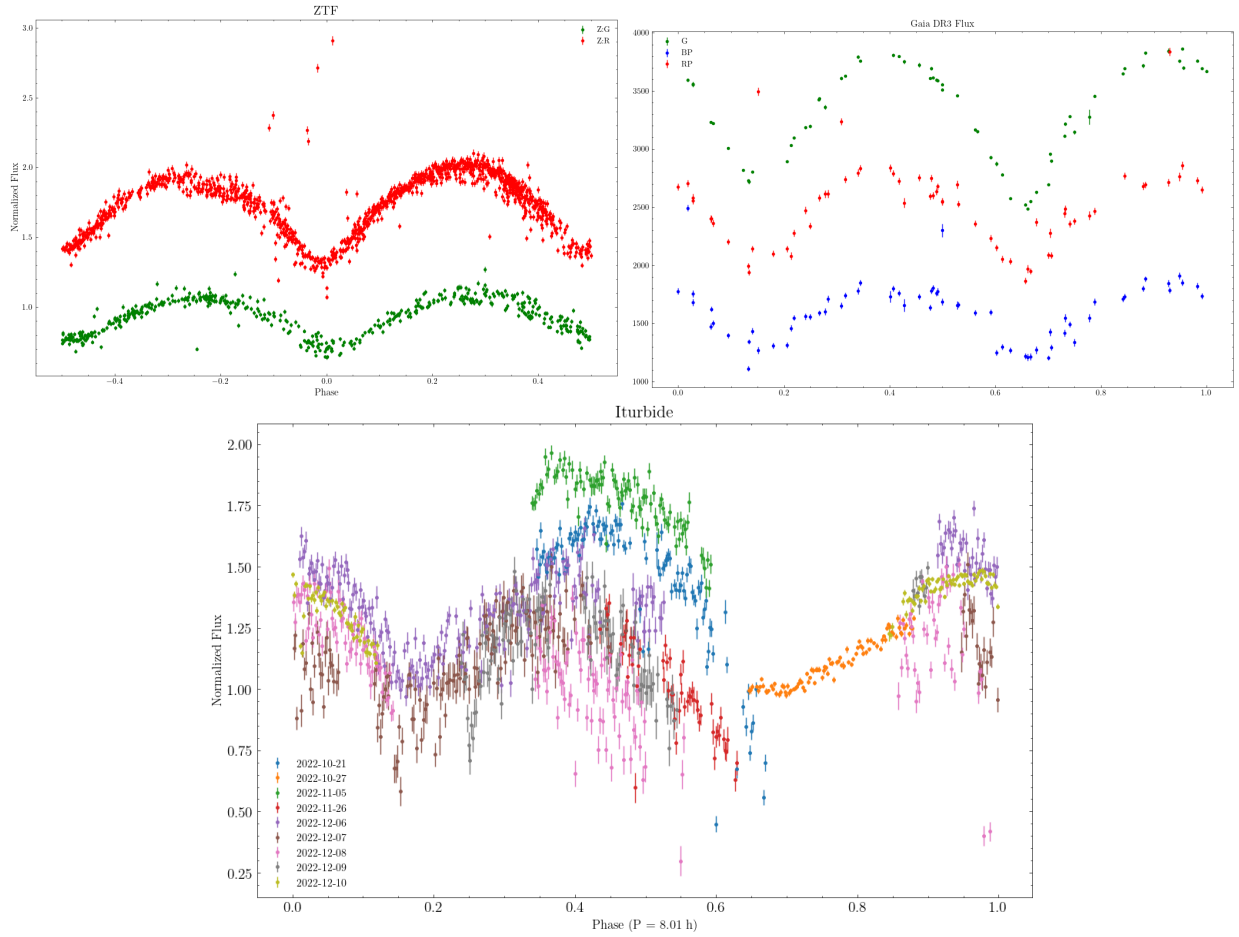


Figura 4.3: Flujo en fase de cada curva de luz utilizada. El catálogo de Gaia DR3 ya tiene reportado el flujo del sistema, por lo cual este se utilizó para el modelo en vez de obtener un flujo normalizado partiendo de las magnitudes.

Dentro del Jupyter Notebook [ebai-default.ipynb](#) se puede encontrar el código con el que se llevaron a cabo las pruebas de estimación de parámetros. El estimador **EBAI-KNN** puede que obtenga diferentes soluciones del sistema dependiendo de la curva de luz utilizada; por lo cual se esperaba que obtuviera diferentes resultados dependiendo de la curva de entrada. Para obtener un panorama completo de las posibles soluciones fotométricas se ejecutaron varios estimadores de PHOEBE, cada uno operando sobre una diferente combinación de curvas de luz; se corrió un estimador por cada curva de luz individual, al igual que unos estimadores que tuvieron de entrada una combinación de curvas de luz de Gaia e Iturbide. El experimento completo junto a sus curvas de luz sintéticas correspondientes se pueden ver en el Notebook antedicho, acompañado de las gráficas resultantes de cada estimador.

4.3.1.1 Elección del Modelo Inicial

Una consideración importante en el proceso de modelación computacional es la existencia de diferentes soluciones fotométricas dado un mismo conjunto de datos. Esto se debe a la ortogonalidad de los parámetros en el sistema; dos o más parámetros pueden estar en un estado de degeneración, donde existe una relación lineal entre estos, lo cual significa que no existe una solución única correcta del sistema. Para decidir entre los varios estimadores se tomó como criterio de selección el ajuste del "forward model.^a los datos mediante la estadística χ^2 . Estos se pueden ver en la **Figura 4.4**. Viendo solo la medida de ajuste χ^2 total para cada modelo se llegaría a la conclusión que el modelo `ebai_knn_iturbide_aviles_raw_solution` es el que más

coincide con los datos observacionales. Sin embargo, es necesario ver el ajuste a cada curva de luz individual; la curva de luz obtenida de Iturbide tiene mayor dispersión y puntos de valor que cualquiera de las otras curvas. Es por esta razón que el χ^2 de `lc_iturbide_aviles_raw` es varias ordenes de magnitud mayor que cualquier otro estimador. Por lo tanto se eligió las estimaciones de `ebai_knn_gaia_norm_solution`, el cual utilizó la fotometría de Gaia normalizada. Los parámetros de este estimador fueron idénticos al estimador que utilizó los datos directos de la base de datos de Gaia. El resultado inicial del modelo se puede ver en la **Figura 4.5**, junto a los parámetros del modelo en la **Tabla 4.1**.

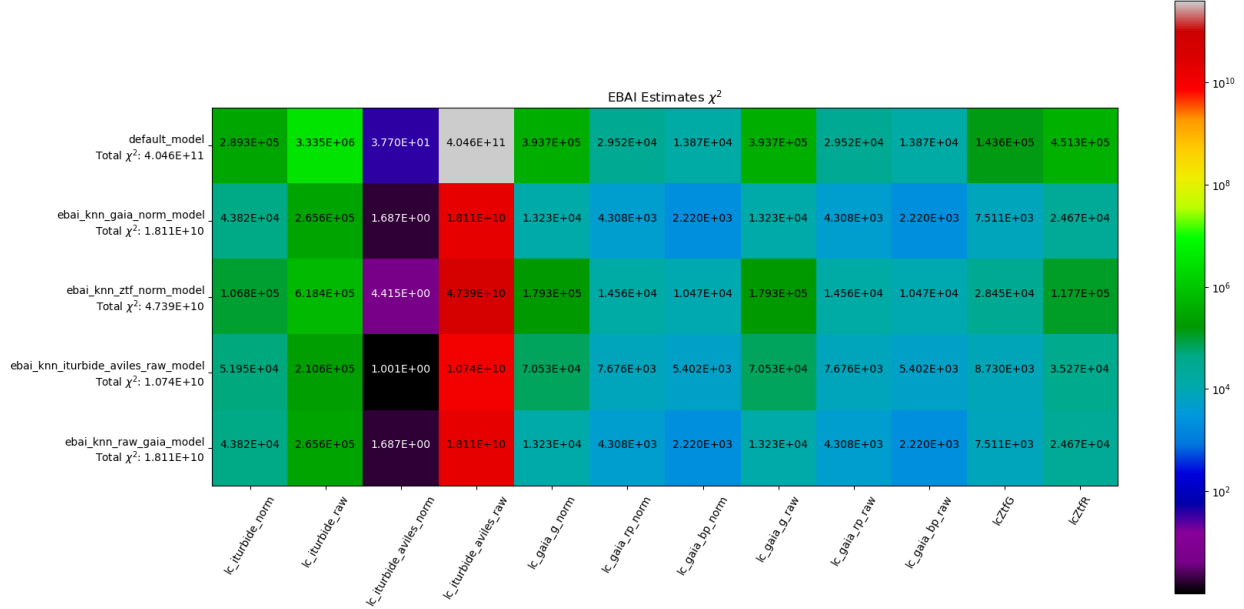


Figura 4.4: Resultados del ajuste (χ^2) de los modelos sintéticos generados utilizando los parámetros de los estimadores. Cada estadística fue calculada con respecto a todos los datos observacionales disponibles, sin importar las combinaciones de curvas de luz utilizadas para hacer la estimación. `raw_model` corresponde al modelo inicial que ofrece PHOEBE a través de la función `phoebe.default_contact_binary()`. Los nombres de los estimadores en el eje vertical de la gráfica indican los datos observacionales utilizados para cada estimación de parámetros.

Parámetro	Valor
t0_supconj@binary	-0.03748 d
teffratio@binary	0.98573
incl@binary	71.07442 deg
fillout_factor@contact_envelope	0.18522
q@binary	1.85648

Cuadro 4.1: Resultados adoptados de las estimaciones iniciales, utilizando el estimador cuyos datos de entrada fueron solo datos de Gaia. Las unidades de cada valor son especificadas excepto para los parámetros adimensionales.

4.3.2 Optimización de Parámetros

Como se puede ver en la **Figura 4.5** el modelo inicial de PHOEBE no se ajusta perfectamente bien a los datos observacionales. Los residuos de los flujos no llegan a estar planos

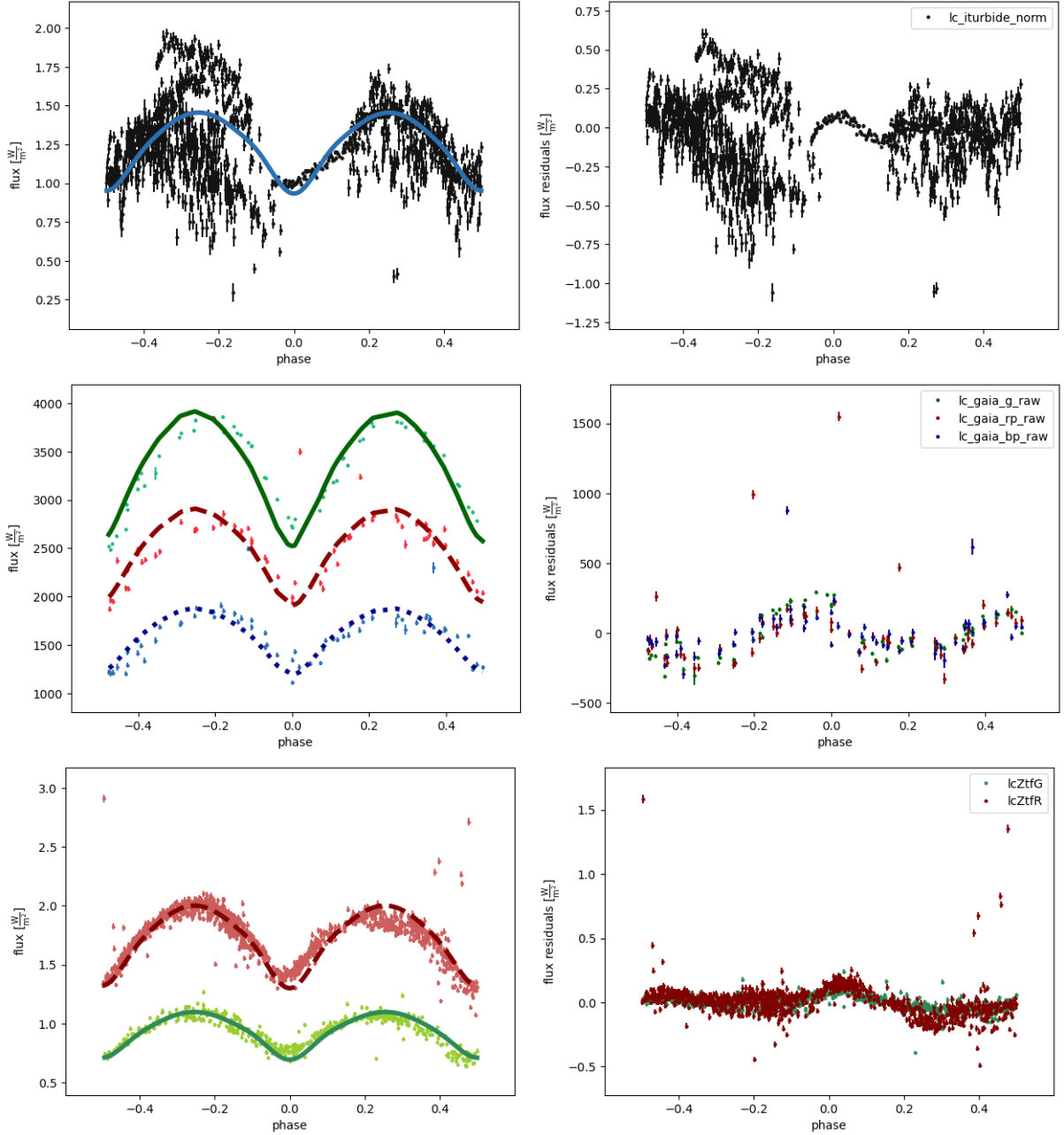


Figura 4.5: Modelos sintéticos del modelo utilizando los parámetros estimados por `ebai_knn_gaia_norm_solver` junto a los residuos en los flujos para cada curva de luz. Estos modelos fueron sintetizados utilizando un factor de escala de flujos flexible, utilizando la opción `pblum_mode = "dataset_scaled"`, el cual nos permite analizar la morfología del modelo sintético sin considerar por ahora el efecto en la escala de la curva de parámetros relacionados con la luminosidad de cada componente, como las temperaturas absolutas de ambas estrellas. Estos parámetros son ajustados en los siguientes pasos de afinación del modelo.

alrededor de 0; se alcanza a apreciar un comportamiento oscilatorio en fase. Por lo tanto es necesario ajustar estos parámetros para llegar al mínimo global en el espacio de parámetros. PHOEBE ofrece varias herramientas partiendo de una estimación inicial, haciendo uso de métodos numéricos para evaluar el espacio de parámetros y llegar a un modelo con el mejor ajuste a los datos observacionales.

Apéndice A

Gaia ADQL Queries

A.1 DR2

```
SELECT *,
    array_element(a0, 1) AS J2000_ra_prop,
    array_element(a0, 2) AS J2000_dec_prop,
    array_element(a0, 3) AS J2000_parallax_prop,
    array_element(a0, 4) AS J2000_pmra_prop,
    array_element(a0, 5) AS J2000_pmdec_prop,
    array_element(a0, 6) AS J2000_rv_prop, sdss_transform.g_sdss -
sdss_transform.r_sdss AS g_r_sdss_color, sdss_transform.r_sdss -
sdss_transform.i_sdss AS r_i_sdss_color
FROM (
    SELECT *,
        -0.13518 + 0.46245 * bp_rp + 0.2517 * Power(bp_rp , 2) -
0.021349 * Power(bp_rp , 3) + phot_g_mean_mag AS g_sdss,
        0.29676 - 0.64728 * bp_rp + 0.10174 * Power(bp_rp , 2) +
phot_g_mean_mag AS i_sdss,
        0.12879 - 0.24662 * bp_rp + 0.027464 * Power(bp_rp , 2) +
0.049465 * Power (bp_rp , 3) + phot_g_mean_mag AS r_sdss
    FROM (
        SELECT source_id, phot_variable_flag, bp_rp,
phot_g_mean_mag, ra, dec, parallax, pmra, pmdec, radial_velocity AS rv,
EPOCH_PROP(ra, dec, parallax, pmra, pmdec, radial_velocity, ref_epoch,
2000) AS a0
        FROM gaiadr2.gaia_source
    ) as gdr2
    WHERE
        gdr2.phot_variable_flag = 'VARIABLE'
        AND gdr2.source_id IN (
            SELECT source_id
            FROM external.gaiadr2_geometric_distance
        )
        AND gdr2.source_id NOT IN (
            SELECT source_id
            FROM gaiadr2.sdssdr9_best_neighbour
        )
    ) AS sdss_transform
WHERE sdss_transform.g_sdss - sdss_transform.r_sdss < 0.7 AND
sdss_transform.r_sdss - sdss_transform.i_sdss > 0.30
```


A.2 DR3

```
SELECT TOP 3630000 * ,
    array_element (sdss_transform.a0 , 1) AS J2000_ra_prop ,
    array_element (sdss_transform.a0 , 2) AS J2000_dec_prop ,
    array_element (sdss_transform.a0 , 3) AS J2000_parallax_prop ,
    array_element (sdss_transform.a0 , 4) AS J2000_pmra_prop ,
    array_element (sdss_transform.a0 , 5) AS J2000_pmdec_prop ,
    array_element (sdss_transform.a0 , 6) AS J2000_rv_prop ,
    sdss_transform.g_sdss - sdss_transform.r_sdss AS g_r_sdss_color ,
    sdss_transform.r_sdss - sdss_transform.i_sdss AS r_i_sdss_color
FROM
(
    SELECT * ,
        -0.2199 + 0.6365 * bp_rp + 0.1548 * Power(bp_rp, 2) - 0.0064 *
        Power(bp_rp , 3) + phot_g_mean_mag AS g_sdss ,
        0.293 - 0.6404 * bp_rp + 0.09609 * Power(bp_rp , 2) + 0.002104 *
        Power(bp_rp, 3) + phot_g_mean_mag AS i_sdss ,
        0.09837 - 0.08592 * bp_rp + 0.1907 * Power(bp_rp , 2) + 0.1701 *
        Power(bp_rp , 3) + phot_g_mean_mag AS r_sdss ,
        0.4619 - 0.8992*bp_rp +0.08271*Power(bp_rp, 2) - 0.005029*Power(
        bp_rp, 3) + phot_g_mean_mag AS z_sdss
    FROM (
        SELECT *, EPOCH_PROP(ra, dec, parallax, pmra, pmdec,
        radial_velocity, ref_epoch, 2000) AS a0
        FROM gaiadr3.gaia_source) AS gdr3
        WHERE gdr3.phot_variable_flag = 'VARIABLE'
            AND gdr3.source_id NOT IN
                (SELECT sdss.source_id FROM gaiadr3.
        sdssdr13_best_neighbour as sdss)
    ) AS sdss_transform
WHERE sdss_transform.g_sdss - sdss_transform.r_sdss < 0.7
    AND sdss_transform.r_sdss - sdss_transform.i_sdss > 0.30;
```

Agradecimientos

This work has made use of data from the European Space Agency (ESA) mission *Gaia* (<https://www.cosmos.esa.int/gaia>), processed by the Gaia Data Processing and Analysis Consortium (DPAC, <https://www.cosmos.esa.int/web/gaia/dpac/consortium>). Funding for the DPAC has been provided by national institutions, in particular the institutions participating in the *Gaia* Multilateral Agreement.

This research made use of Astropy,¹ a community-developed core Python package for Astronomy [The Astropy Collaboration et al. \(2018\)](#).

This research has made use of the SIMBAD database, operated at CDS, Strasbourg, France.

This research made use of ccdproc, an Astropy package for image reduction [Craig et al. \(2023\)](#).

¹<http://www.astropy.org>

Bibliografía

- Craig, M., Crawford, S., Seifert, M., Robitaille, T., Sipőcz, B., Walawender, J., Crawford, S., Vinícius, Z., Ninan, J. P., Droettboom, M., Bowers, T. E., Youn, J., Gondhalekar, Y., Tollerud, E., Lim, P. L., Bray, E. M., Bach, Y. P., stottsc, Janga, V. R., walkerna22, Günther, H. M., Rol, E., A., J., Bradley, L., Price-Whelan, A., Deil, C., Ryon, J., Lee, K., Barbary, K., and Weiner, B. (2023). *astropy/ccdproc*: 2.4.1.
- Gaia Collaboration, Brown, A. G. A., Vallenari, A., Prusti, T., de Bruijne, J. H. J., Babusiaux, C., and Bailer-Jones, C. A. L. (2018). Gaia data release 2. summary of the contents and survey properties. *Astronomy & Astrophysics*, 616.
- Gaia Collaboration, Prusti, T., de Bruijne, J., Brown, A., Vallenari, A., Babusiaux, C., Bailer-Jones, C., Bastian, U., Biermann, M., Evans, D., Eyer, L., F., J., Jordi, C., Klioner, S., Lammers, U., Lindegren, L., Luri, X., Mignard, F., Milligan, D., Panem, C., Poinsignon, V., Pourbaix, D., Randich, S., Sarri, G., Sartoretti, P., Siddiqui, H., Soubiran, C., Valette, V., F., Walton, N., Aerts, C., Arenou, F., Cropper, M., Drimmel, R., Høg, E., Katz, D., M.G., L., O'Mullane, W., Grebel, E., Holland, A., Huc, C., Passot, X., Bramante, L., Cacciari, C., Castañeda, J., Chaoul, L., Cheek, N., Angeli, F. D., Fabricius, R., Hernández, J., Jean-Antoine-Piccolo, A., Masana, E., Messineo, R., Mowlavi, N., Nienartowicz, K., Ordóñez-Blanco, D., Panuzzo, P., Portell, J., Richards, P., Riello, M., Seabroke, G., Tanga, P., Thévenin, F., Torra, J., Els, S., Gracia-Abril, G., Comoretto, Garcia-Reinaldos, M., Lock, T., Mercier, E., Altmann, Andrae, R., Astraatmadja, T., Bellas-Velidis, I., Benson, K., Berthier, J., Blomme, R., Busso, G., Carry, B., Cellino, A., Clementini, G., Cowell, S., Creevey, O., Cuypers, J., Davidson, M., Ridder, J. D., de Torres, A., Delchambre, L., Dell'Oro, A., Ducourant, C., Frémat, García-Torres, M., Gosset, E., Halbwachs, J.-L., Hambly, N., Harrison, D., Hauser, M., Hestroffer, D., Hodgkin, S., Huckle, H., Hutton, A., Jasiewicz, G., Jordan, S., Kontizas, M., Korn, A., Lanzafame, A., Manteiga, M., Moitinho, A., Muinonen, K., Osinde, J., Pancino, E., Pauwels, T., Petit, J.-M., Recio-Blanco, A., Robin, A., Sarro, L., Siopis, C., Smith, M., Smith, K., Sozzetti, A., Thuillot, W., van Reeven, W., Viala, Y., Abbas, U., Aramburu, A. A., Accart, S., Aguado, J., Allan, P., Allasia, W., Altavilla, G., Álvarez, M., Alves, J., Anderson, R., Andrei, A., Varela, E. A., Antiche, E., Antoja, T., Antón, S., Arcay, B., Atzei, A., Ayache, L., Bach, N., Baker, S., Balaguer-Núñez, L., Barache, C., Barata, C., Barbier, Barblan, F., Baroni, M., y Navascués, D. B., Barros, M., Barstow, M., Becciani, U., Bellazzini, M., Bellei, G., García, A. B., Belokurov, V., Bendjoya, P., Berihuete, A., Bianchi, L., Bienaymé, O., Billebaud, Blagorodnova, N., Blanco-Cuaresma, S., Boch, T., Bombrun, A., Borrachero, R., Bouquillon, S., Bourda, G., Bouy, H., Bragaglia, A., Breddels, M., Brouillet, N., Brüsemeister, T., Bucciarelli, B., Budnik, F., Burgess, P., Burgon, R., Burlacu, A., Busonero, D., Buzzi, R., Caffau, E., Cambras, J., Campbell, H., Cancelliere, R., Cantat-Gaudin, T., Carlucci, T., Carrasco, J., Castellani, M., Charlot, P., Charnas, J., Charvet, P., Chassat, F., A., Clotet, M., Coccozza, G., Collins, R., Collins, P., Costigan, G., Crifo, F., Cross, N., Crosta, M., Crowley, C., Dafonte, C., Damerdji, Y., Dapergolas, A., David, P., David, M., Cat, P. D., de Felice, F., de Laverny, P., Luise, F. D., March, R. D., deMartino, D., de Souza,

R., Debosscher, J., del Pozo, E., Delbo, M., Delgado, A., Delgado, H., di Marco, F., Matteo, P. D., Diakite, S., Distefano, E., Dolding, C., Anjos, S. D., Drazinos, P., Durán, J., Dzigan, Y., Ecale, E., Edvardsson, B., Enke, H., Erdmann, M., Escolar, D., Espina, M., Evans, N., Bontemps, G. E., Fabre, C., Fabrizio, M., Faigler, S., Falcão, A., Casas, M. F., Faye, F., Federici, L., Fedorets, G., Fernández-Hernández, J., Fernique, P., Fienga, A., Figueras, F., Filippi, F., Findeisen, K., Fonti, A., Fouesneau, E., Fraser, M., Fuchs, J., Furnell, R., Gai, M., Galleti, S., Galluccio, L., Garabato, D., García-Sedano, F., Garé, P., Garofalo, A., Garralda, N., Gavras, P., Gerssen, J., Geyer, R., Gilmore, G., Girona, Giuffrida, G., Gomes, M., González-Marcos, A., González-Núñez, J., González-Vidal, J., Granvik, M., Guerrier, A., Guillout, P., Guiraud, J., Gúrpide, A., Gutiérrez-Sánchez, R., Guy, L., Haignon, R., Hatzidimitriou, D., Haywood, M., Heiter, U., Helmi, A., Hobbs, D., Hofmann, W., Holl, B., Holland, G., Hunt, J., Hypki, A., Icardi, V., Irwin, M., de Fombelle, G. J., Jofré, P., Jonker, P., Jorissen, A., Julbe, F., Karampelas, A., Kochoska, A., Kohley, R., Kolenberg, K., Kontizas, E., Kuposov, S., Kordopatis, G., Koubsky, P., Kowalczyk, A., Krone-Martins, A., Kudryashova, M., Kull, Bachchan, R., Lacoste-Seris, F., Lanza, A., Lavigne, J.-B., Poncin-Lafitte, C. L., Lebreton, Y., Lebzelter, T., Leccia, S., Leclerc, N., Lecoœur-Taibi, I., Lemaitre, V., Lenhardt, H., Leroux, F., Liao, S., Licata, E., Lindstrøm, H., Lister, T., Livanou, E., Lobel, W., López, M., Lopez-Lozano, A., Lorenz, D., Loureiro, T., MacDonald, I., Fernandes, T. M., S., Mann, R., Mantelet, G., Marchal, O., Marchant, J., Marconi, M., Marie, J., Marinoni, S., Marrese, P., Marschalkó, G., Marshall, D., Martín-Fleitas, J., Martino, M., Mary, N., Matijević, G., Mazeh, T., McMillan, P., Messina, S., Mestre, A., Michalik, D., Millar, N., Miranda, B., Molina, D., Molinaro, R., Molinaro, M., Molnár, L., Moniez, M., Montegriffo, P., Monteiro, D., Mor, R., Mora, A., Morbidelli, R., Morel, T., Morgenthaler, S., Morley, T., Morris, D., Mulone, A., Muraveva, T., Musella, I., Narbonne, J., Nelemans, G., Nicastro, L., Noval, L., Ordénovic, C., Ordieres-Meré, J., Osborne, P., Pagani, C., Pagano, I., Pailler, F., Palacin, H., Palaversa, L., Parsons, P., Paulsen, T., Pecoraro, M., Pedrosa, R., Pentikäinen, H., Pereira, J., Pichon, B., Piersimoni, A., Pineau, F.-X., Plachy, E., Plum, G., Poujoulet, E., Prša, A., Pulone, L., Ragaini, S., Rago, S., N., R., Ramos-Lerate, M., Ranalli, P., Rauw, G., Read, S., Renk, F., Reylé, C., Ribeiro, R., Rimoldini, L., Ripepi, V., Riva, A., Rixon, G., Roelens, Romero-Gómez, M., Rowell, N., Royer, F., Rudolph, Ruiz-Dern, L., Sadowski, G., Sellés, T. S., Sahlmann, J., Salgado, J., Salguero, E., Sarasso, M., H., Schnorhk, A., Schultheis, M., Sciacca, E., Segol, M., Segovia, J., Segransan, D., Serpell, E., Shih, I.-C., Smareglia, R., Smart, R., Smith, C., Solano, E., Solitro, F., Sordo, R., Nieto, S. S., Souchay, A., Spoto, F., Stampa, U., Steele, I., Steidelmüller, H., Stephenson, C., Stoev, H., Suess, F., Süveges, M., Surdej, J., Szabados, L., Szegedi-Elek, E., Tapiador, D., Taris, F., Tauran, G., Taylor, M., Teixeira, R., Terrett, D., Tingley, B., Trager, S., C., Ulla, A., Utrilla, E., Valentini, G., van Elteren, A., Hemelryck, E. V., van Leeuwen, M., Varadi, M., Vecchiato, A., Veljanoski, J., Via, T., Vicente, D., Vogt, S., Voss, H., Votruba, V., Voutsinas, S., G., W., Weiler, M., Weingrill, K., Werner, D., Wevers, G., Wyrzykowski, L., Yoldas, A., Žerjal, M., Zucker, S., Zurbach, C., Zwitter, T., Alecu, A., Allen, M., Prieto, C. A., Amorim, A., G., A., Arsenijevic, V., Azaz, S., Balm, P., Beck, M., Bernstein, H.-H., Bigot, L., Bijaoui, A., Blasco, C., Bonfigli, M., Bono, G., Boudreault, S., Bressan, A., Brown, S., Brunet, P.-M., Bunclark, P., Buonanno, R., Butkevich, A., Carret, C., Carrion, C., Chemin, L., F., C., Corcione, L., Darmigny, E., de Boer, K., de Teodoro, P., de Zeeuw, P., Luche, C. D., Domingues, C., Dubath, P., Fodor, F., Frézouls, B., Fries, A., Fustes, D., Fyfe, D., Gallardo, E., Gallegos, J., Gardiol, D., Gebran, M., Gomboc, A., Gómez, A., Grux, E., Gueguen, A., Heyrovsky, A., Hoar, J., Iannicola, G., IsasiParache, Y., Janotto, A.-M., Joliet, E., Jonckheere, A., Keil, R., Kim, D.-W., Klagyivik, P., Klar, J., Knude, J., Kochukhov, O., Kolka, I., Kos, J., Kutka, A., Lainey, V., LeBouquin, D., Liu, C., Loreggia, D., Makarov, V., Marseille, M., Martayan, C., Martinez-Rubi, O., Massart, B., Meynadier, F., Mignot, S., Munari, U., Nguyen, A.-T.,

- Nordlander, T., Ocvirk, P., O’Flaherty, K., Sanz, A. O., Ortiz, P., Osorio, J., Oszkiewicz, D., Ouzounis, A., Palmer, M., Park, P., Pasquato, E., Peltzer, C., Peralta, J., Péturaud, F., Pieniluoma, T., Pigozzi, J., Prat, G., Prod’homme, T., Raison, F., Rebordao, J., Risquez, D., Rocca-Volmerange, B., Rosen, S., Ruiz-Fuertes, M., Russo, F., Sembay, S., Vizcaino, I. S., Short, A., Siebert, A., Silva, H., Sinachopoulos, D., Slezak, E., Soffel, M., Sosnowska, D., Straižys, V., ter Linden, M., Terrell, D., Theil, S., Tiede, C., Troisi, L., Tsalmantza, P., Tur, D., Vaccari, Vachier, F., Valles, P., Hamme, W. V., Veltz, L., J., Wallut, J.-M., Wichmann, R., Wilkinson, M., Ziaeeepour, H., and Zschocke, S. (2016). The gaia mission. *Astronomy & Astrophysics*, 595.
- Gunn, J. E., Siegmund, W. A., Mannery, E. J., Owen, R. E., Hull, C. L., Leger, R. F., Carey, L. N., Knapp, G. R., York, D. G., Boroski, W. N., Kent, S. M., Lupton, R. H., Rockosi, C. M., Evans, M. L., Waddell, P., Anderson, J. E., Annis, J., Barentine, J. C., Bartoszek, L. M., Bastian, S., Bracker, S. B., Brewington, H. J., Briegel, C. I., Brinkmann, J., Brown, Y. J., Carr, M. A., Czarapata, P. C., Drennan, C. C., Dombeck, T., Federwitz, G. R., Gillespie, B. A., Gonzales, C., Hansen, S. U., Harvanek, M., Hayes, J., Jordan, W., Kinney, E., Klaene, M., Kleinman, S. J., Kron, R. G., Kresinski, J., Lee, G., Limmongkol, S., Lindenmeyer, C. W., Long, D. C., Loomis, C. L., McGehee, P. M., Mantsch, P. M., Jr., E. H. N., Neswold, R. M., Newman, P. R., Nitta, A., Jr., J. P., Pier, J. R., Prieto, P. S., Prosapio, A., Rivetta, C., Schneider, D. P., Snedden, S., and i Wang, S. (2006). The 2.5 m telescope of the sloan digital sky survey. *The Astronomical Journal*, 131.
- Heinze, A. N., Tonry, J. L., Denneau, L., Flewelling, H., Stalder, B., Rest, A., Smith, K. W., Smartt, S. J., and Weiland, H. (2018). A First Catalog of Variable Stars Measured by the Asteroid Terrestrial-impact Last Alert System (ATLAS). *The Astronomical Journal*, 156(5):241. Publisher: The American Astronomical Society.
- Karttunen, H., Kröger, P., Oja, H., Poutanen, M., and Donner, K. J. (2017). *Fundamental Astronomy*. Springer.
- Krisciunas, K., Margon, B., and Szkody, P. (1998). The recognition of unusual objects in the sloan digital sky survey color system. *Publications of the Astronomical Society of the Pacific*.
- Kurucz, R. L. (1970). Atlas: a Computer Program for Calculating Model Stellar Atmospheres. *SAO Special Report*, 309. ADS Bibcode: 1970SAOSR.309.....K.
- Kutner, M. L. (2017). *Astronomy A Physical Perspective*. Cambridge University Press, 2 edition.
- Lang, D., Hogg, D. W., Mierle, K., Blanton, M., and Roweis, S. (2010). Astrometry.net: Blind astrometric calibration of arbitrary astronomical images. *The Astronomical Journal*, 139(5):1782–1800. arXiv:0910.2233 [astro-ph].
- LeBlanc, F. (2010). *An Introduction to Stellar Astrophysics*. John Wiley & Sons Ltd.
- Morris, B. M., Tollerud, E., Sipőcz, B., Deil, C., Douglas, S. T., Medina, J. B., Vyhmeister, K., Smith, T. R., Littlefair, S., Price-Whelan, A. M., Gee, W. T., and Jeschke, E. (2018). astropplan: An Open Source Observation Planning Package in Python. *The Astronomical Journal*, 155(3):128.
- Prialnik, D. (2010). *An Introduction to the Theory of Stellar Structure and Evolution*. Cambridge University Press.

Prša, A. (2011). Phoebe scientific reference. Technical report, Villanova University College of Arts and Sciences Department of Astronomy and Astrophysics.

Szkody, P., Anderson, S. F., Agüeros, M., Covarrubias, R., Bentz, M., Hawley, S., Margon, B., , Voges, W., Henden, A., Knapp, G. R., Berk, D. E. V., Rest, A., Miknaitis, G., Magnier, E., Brinkmann, J., Csabai, I., Harvanek, M., Hindsley, R., Hennessy, G., Ivezić, Z., Kleinman, S. J., Lamb, D. Q., Long, D., Newman, P. R., Neilsen, E. H., Nichol, R. C., Nitta, A., Schneider, D. P., Snedden, S. A., and York, D. G. (2001). Cataclysmic variables from the sloan digital sky survey. i. the first results. *The Astronomical Journal*, 123.

The Astropy Collaboration, Price-Whelan, A. M., Sip

Hócz, B. M., Günther, H. M., Lim, P. L., Crawford, S. M., Conseil, S., Shupe, D. L., Craig, M. W., Dencheva, N., Ginsburg, A., VanderPlas, J. T., Bradley, L. D., Pérez-Suárez, D., de Val-Borro, M., Paper Contributors, ., Aldcroft, T. L., Cruz, K. L., Robitaille, T. P., Tollerud, E. J., Coordination Committee, ., Ardelean, C., Babej, T., Bach, Y. P., Bachtetti, M., Bakanov, A. V., Bamford, S. P., Barentsen, G., Barmby, P., Baumbach, A., Berry, K. L., Biscani, F., Boquien, M., Bostroem, K. A., Bouma, L. G., Brammer, G. B., Bray, E. M., Breytenbach, H., Buddelmeijer, H., Burke, D. J., Calderone, G., Cano Rodríguez, J. L., Cara, M., Cardoso, J. V. M., Cheedella, S., Copin, Y., Corrales, L., Crichton, D., D

rsquoAvella, D., Deil, C., Depagne,

É., Dietrich, J. P., Donath, A., Droettboom, M., Earl, N., Erben, T., Fabbro, S., Ferreira, L. A., Finethy, T., Fox, R. T., Garrison, L. H., Gibbons, S. L. J., Goldstein, D. A., Gommers, R., Greco, J. P., Greenfield, P., Groener, A. M., Grollier, F., Hagen, A., Hirst, P., Homeier, D., Horton, A. J., Hosseinzadeh, G., Hu, L., Hunkeler, J. S., Ivezi

ć,

v Z., Jain, A., Jenness, T., Kanarek, G., Kendrew, S., Kern, N. S., Kerzendorf, W. E., Khvalko, A., King, J., Kirkby, D., Kulkarni, A. M., Kumar, A., Lee, A., Lenz, D., Littlefair, S. P., Ma, Z., Macleod, D. M., Mastropietro, M., McCully, C., Montagnac, S., Morris, B. M., Mueller, M., Mumford, S. J., Muna, D., Murphy, N. A., Nelson, S., Nguyen, G. H., Ninan, J. P., Nöthe, M., Ogaz, S., Oh, S., Parejko, J. K., Parley, N., Pascual, S., Patil, R., Patil, A. A., Plunkett, A. L., Prochaska, J. X., Rastogi, T., Reddy Janga, V., Sabater, J., Sakurikar, P., Seifert, M., Sherbert, L. E., Sherwood-Taylor, H., Shih, A. Y., Sick, J., Silbiger, M. T., Singanamalla, S., Singer, L. P., Sladen, P. H., Sooley, K. A., Sornarajah, S., Streicher, O., Teuben, P., Thomas, S. W., Tremblay, G. R., Turner, J. E. H., Terr

ón, V., van Kerkwijk, M. H., de la Vega, A., Watkins, L. L., Weaver, B. A., Whitmore, J. B., Woillez, J., Zabalza, V., and Contributors, . (2018). The astropy project: Building an open-science project and status of the v2.0 core package.

aj, 156:123.

van Leeuwen, F., de Bruijne, J., Babusiaux, C., Busso, G., Castañeda, J., Ducourant, C., Fabricius, C., Hambly, N., Hobbs, D., Luri, X., Marrese, P. M., Mora, A., Muinonen, K., Pourbaix, D., Rimoldini, L., Roegiers, T., Sartoretti, P., Teyssier, D., Ulla, A., Utrilla, E., Vallenari, A., van Leeuwen, M., Altavilla, G., Altmann, M., Álvarez, M. A., Andrae, R., Antoja, T., Antonio, M., Arenou, F., Audard, M., Bailer-Jones, C. A. L., Bakker, J., Balbinot, E., Barache, C., Barblan, F., Bastian, U., Bauchet, N., Bellas-Velidis, I., Bellazzini, M., Berthier, J., Biermann, M., Blomme, R., Bombrun, A., Bossini, D., Brouillet, N., Brown, A., Brugaletta, E., Busonero, D., Butkevich, A., Cacciari, C., Cánovas, H., Cantat-Gaudin, T., Carballo, R., Carnerero, M. I., Carrasco, J. M., Cellino, A., Cheek, N., Clementini, G., Clotet, M., Creevey, O. L., Crowley, C., Dafonte, C., Damerdj, Y., David, M., David, P., Davidson, M., De Angeli, F., De Ridder, J., De Teodoro, P., Delbó, M., Delchambre, L., Delisle, J. B., Dell-Oro, A., Dharmawardena, T., Diakité, S., Distefano, E., Drimmel,

R., Duran, J., Evans, D. W., Eyer, L., Fabrizio, M., Faigler, S., Fernández-Hernández, J., Figueras, F., Findeisen, K., Fouesneau, M., Frémat, Y., Galluccio, L., Garabato, D., García-Gutiérrez, A., Garofalo, A., Gavras, P., Giacobbe, P., Giuffrida, G., Gómel, R., González, Á., González-Núñez, J., Gosset, É., Gracia-Abril, G., Guerra, R., Halbwachs, J. L., Harrison, D. L., Hatzidimitriou, D., Heiter, U., Helmi, A., Henar Sarmiento, M., Hernandez, J., Hestroffer, D., Hodgkin, S., Holl, B., Hutton, A., Jevardat de Fombelle, G., Jordi, C., Jorissen, A., Katz, D., Khanna, S., Klioner, S., Kordopatis, G., Korn, A. J., Krone-Martins, A., Kruszyńska, K., Lammers, U., Lanzafame, A., Lattanzi, M. G., Le Champion, J. F., Lebreton, Y., Lebzelter, T., Leccia, S., Leclerc, N., Lecoeur-Taïbi, I., Licata, E., Lindegren, L., Lobel, A., Löffler, W., Manteiga, M., Mantelet, G., Marinoni, S., Marshall, D. J., Martín-Fleitas, J., Masana, E., Masip Vela, A., Mazeh, T., Messineo, R., Michalik, D., Mignard, F., Molinaro, R., Monguió, M., Montegriffo, P., Morel, T., Mowlavi, N., Muraveva, T., Nicolas, C., Nienartowicz, K., Ordenovic, C., Osinde, J., Paillet, F., Pallas-Quintela, L., Panahi, A., Pancino, E., Panem, C., Pauwels, T., Pichon, B., Portell, J., Rainer, M., Raiteri, C. M., Ramos, P., Recio-Blanco, A., Reylé, C., Riello, M., Ríos Diaz, C., Ripepi, V., Riva, A., Rixon, G., Robin, A. C., Romero-Gómez, M., Rowell, N., Rybicki, K. A., Rybizki, J., Sadowski, G., Sáez-Núñez, A., Sahlmann, J., Sanna, N., Sarro Baro, L. M., Schultheis, M., Seabroke, G., Segovia Serrato, J. C., Segransan, D., Siddiqui, H., Siopis, C., Smart, R., Sordo, R., Soubiran, C., Sozzetti, A., Spina, L., Spoto, F., Stephenson, C., Tanga, P., Teixeira, R., Thévenin, F., Torra, F., Trabucchi, M., Turon, C., Weiler, M., Wyrzykowski, L., and Zucker, S. (2022). Gaia DR3 documentation. Gaia DR3 documentation, European Space Agency; Gaia Data Processing and Analysis Consortium. Online at <https://gea.esac.esa.int/archive/documentation/GDR3/index.html> <https://gea.esac.esa.int/archive/documentation/GDR3/index.html> id. 1.

VanderPlas, J. T. (2017). Understanding the lomb-scargle periodogram. *The Astrophysical Journal Supplement Series*.

Wenger, M., Ochsenbein, F., Egret, D., Dubois, P., Bonnarel, F., Borde, S., Genova, F., Jasiewicz, G., Laloë, S., Lesteven, S., and Monier, R. (2000). The SIMBAD astronomical database: The CDS reference database for astronomical objects. *Astronomy and Astrophysics Supplement Series*, 143(1):9–22.